

zvodima zahvaljujući u prvom redu svojoj manjoj težini. Na tablici 43 prikazano je procentno učešće profila, plosnatih proizvoda i cijevi u prosječnoj potrošnji čelika po svjetskim proizvodnim regionima u periodu od 1955 do 1957. Iz datih podataka jasno se vidi veliko učešće plosnatih proizvoda u razvijenim zemljama. Isto je tako veliko učešće profila u nerazvijenim regionima. Što se tiče cijevi, njihova potrošnja zavisi od razvijenosti industrije nafta i transporta energetskih medija cijevnim vodovima.

**Cijena čelika.** Za orijentaciju može se navesti da je 1960 jedna tona ugljičnog čelika u obliku lima 1 mm u SR Njemačkoj stajala 600 DM, a odnos cijena različitih legiranih čelika i cijene ugljičnog čelika St 35 bio je kako pokazuje tabl. 44. U SFRJ cijena čelika Č. 0145 u obliku lima debljine 2 mm iznosila je 1687 Nd/t.

S. Grgić

LIT.: Opća djela, priručnici itd. G. Guzzoni, Gli acciai communi e speciali, Milano 1952. — K. Daeves (Bearb.), Werkstoffhandbuch Stahl und Eisen, Düsseldorf 1953. — C. Johansen, Geschichte des Eisens, Düsseldorf 1953. — J. M. Camp, C. B. Francis, The making, shaping and treating of steel, Pittsburgh 1957. — A. Bertocci, E. Mariani, I metalli e l'acciaio, Terni 1960. — Akademie-Verlag Hütte, Taschenbuch für Eisenhüttenleute, Berlin 1961. — W. Dröge, Der Werkstoff Stahl, Leipzig 1962. — H. Grothe (Herausg.), Lexikon der Hütten-technik (Lueger Lexikon der Technik, Bd. 5), Stuttgart 1963. — I. Class, Stähle, u djelu: W. Foerst (Herausg.), Ullmanns Encyklopädie der technischen Chemie, Bd. 16, Berlin 1965. — F. Lüth, H. König, The planning of iron and steelworks, New York 1967. — Struktura i termička obrada čelika. D. K. Bullens & al., Steel and its heat treatment, 3 vol., New York 1948/9. — W. Crafts, J. L. Lamont, Hardenability and steel selection, New York 1949. — A. H. Minkeevich, Химико-термическая обработка стали, Москва 1950. — C. E. Enos, W. E. Fontaine, Elements of heat treatment, New York 1953. — И. И. Корнилов, Железные сплавы, 3 т. Москва-Лeningrad 1945/56. — W. Ordinanz, Einführung in das Härteln, München 1956. — F. Wever, A. Rose, W. Peter, W. Straßburg, L. Rademacher, Atlas zur Wärmebehandlung der Stähle, 2 Teile, Düsseldorf 1954/58. — H. Rufus, Wärmebehandlung der Eisenwerkstoffe, Düsseldorf 1958. — B. C. Мескин, Основы легирования стали, Москва 1959. — A. Stüdenann, Wärmebehandlung der Stähle, München 1960. — K. Daeves, Zustandsschaubild der unlegierten Stähle, Düsseldorf 1960. — A. П. Гулев, Термическая обработка стали, Москва 1960. — А. А. Шмыков, Справочник термиста, Москва 1961. — М. Л. Бернштейн, А. Г. Рахшадов (ред.), Металлование и термическая обработка стали, 2 т., справочник, Москва 1961. — D. Horstmann & al., Das Zustandsschaubild Eisen-Kohlenstofflegierungen, Düsseldorf 1961. — H. Ф. Болховитинов, Металлование и термическая обработка, Москва 1961. — S. Guralj, Termička obrada čelika, Beograd 1962. — M. A. Grossman, Principles of heat treatment, Cleveland 1962. — M. E. Blamptier, Металлование и термическая обработка, Москва 1963. — Proizvodnja čelika. R. Durrer, Die Metallurgie des Eisens, Berlin 1934. — AIMME, Basic open hearth steel making, New York 1951. — K. Eichel, Das basische Windfrischverfahren, Berlin 1952. — K. G. Trubin, Der Siemens-Martin-Prozess, Berlin 1953. — J. L. Bray, Ferrous process metallurgy, New York 1954. — K. Г. Трубин, Металлургия стали, Москва 1957. — P. Rayson, The metallurgy of tool steel, New York 1962. — F. Sommer, E. Plöckinger, Elektrostahlerezeugung, Düsseldorf 1964. — E. Plöckinger, H. Straube, Die Edelstahlherzeugung, Berlin - New York 1965. — Prerada čelika. E. Siebel, Die Formgebung im bildsamen Zustande, Düsseldorf 1937. — F. Stanković, Mašine alatne i industrijske proizvodnja mašina, Deo II: Obrada metala bez rezanja, Beograd 1950. — H. Hoff, Th. Dahl, Grundlagen des Walzverfahrens, Düsseldorf 1950. — A. Gelei, Walzwerks- und Schmiedemaschinen, Berlin 1954. — П. В. Суслов, Кузнецко-прессовое оборудование, Москва 1956. — A. Zelikow, Lehrbuch des Walzwerksbaus, Berlin 1957. — A. H. Broxhanov, Kovka i objemna štampanja, Москва 1957. — H. Sedlacek, Walzwerke, Berlin 1958. — B. Chalmers, Physical metallurgy, New York 1959. — A. A. Королев, Механическое оборудование прокатных цехов, Москва 1959. — П. И. Полухин и др., Прокатное производство, Москва 1960. — B. Božić, Fizička metalurgija, Beograd 1960. — R. E. Beynon, Roll and mill layout, Pittsburgh 1960. — G. E. Dieter, Mechanical metallurgy, New York 1961. — M. Čaušević, Valjanje i kalibriranje, Beograd 1962. — Коллектив авторов, Прокатное производство, 2 т., Москва 1962. — R. W. Cahn, Physical metallurgy, New York-London 1965 — B. Jaoul, Étude de la plasticité et application aux métaux, Paris 1965. — Ю. А. Алексеев, Вступление к теории обработки металлов давлением, прокатом и резанием, Харьков 1967. — Селици за одредене срвре. C. A. Zappfe, Stainless steels, Cleveland 1949. — A. Michel, Aciers à oatis, Paris 1950. — J. H. G. Monypenny, Stainless iron and steel, 2 vol., London 1951. — Автомобилни конструционни стали, справочник, Москва 1951. — И. М. Лейкин, В. Т. Чернавкин, Низколегированные строительные стали, Москва 1952. — В. А. Делле, Легированная конструкционная сталь, Москва 1953. — L. Aitchison, W. I. Pumphrey, Engineering steels, London 1953. — E. Houdremont, Handbuch der Sonderstahlkunde, Düsseldorf 1956. — A. C. Займовский, А. С. Чудновская, Магнитные материалы, Москва 1957. — W. Künscher, H. Kilger, H. Biegler, Technische Baustähle, Halle 1958. — Stahlschlüssel, Magbach a. N. 1959. — М. Ф. Алексеенко, Структура и свойства конструкционных и нержавеющих сталей, Москва 1962. — М. В. Приданцев, К. А. Панаская, Стали для машиностроения, Москва 1959. — F. Rapatz, Die Edelstähle, Berlin 1962. — R. Zaja, Acciai speciali da costruzione, Milano 1962. — W. Künscher, H. Kulke, Baustähle der Welt, Leipzig 1964. — Ključ za čelik, Zagreb 1966. — Ф. Химушкин, Нержавеющие стали 1967. — Економика. United Nations' Economic Commission for Europe, Long-term trends and problems of the European steel industry, Genève 1959. — American Society for Metals, Metals handbook, Novelty, Ohio 1961. — Ј. а. с. о. п. с. Кузнецко-штамповочное производство, Москва; Металлование и термическая обработка металлов, Москва; Сталь, Москва. — Stahl und Eisen, Düsseldorf; Archiv für das Eisenhüttenwesen, Düsseldorf; Mitteilungen aus dem Max-Planck-Institut für Eisenforschung, Düsseldorf. — Métaux (Corrosion, Industries), Paris. — Iron and Steel, London; Journal of the Iron and Steel Institute, London; Metal Industry, London. — Jernkontorets Annaler, Stockholm. — Metallurgia Italiana, Milano. — Steel, Bruxelles. — Blast Furnace and Steel Plant, Pittsburgh; Iron Age, Philadelphia; Steel, Cleveland, Ohio; Steel Facts, New York.

K. Kapetanović M. Juwan H. Numić  
M. Čaušević S. Grgić A. Sarajlić

**ČIŠĆENJE PLINOVA**, u širem smislu, skup svih metoda kojima se u tehniči iz plinova uklanjuju primjese nepoželjne u njihovoj primjeni (nečistoće, onečišćenja), bez obzira na to jesu li te primjese plinovite, tekuće ili čvrste. Za uklanjanje plinovitih primjesa iz plinske smjese upotrebljavaju se operacije obrađene na drugom mjestu u ovoj enciklopediji: adsorpcija, apsorpcija i kemijska reakcija; u ovom članku bit će obradeno čišćenje plinova u užem smislu, tj. metode uklanjanja čvrstih i tekućih onečišćenja suspendiranih u plinu. Iste se metode upotrebljavaju u tehniči i kad glavna svrha operacije nije da se dobije čist plin, nego da se dobije čvrsta ili tekuća tvar koja je u plinu suspendirana. Primjer za primjenu čišćenja plinova od onečišćenja jesu: čišćenje zraka u proizvodnji fotografiskih filmova, farmaceutskih proizvoda, namirnica za život i u lakirnicama; zraka koji ulazi u eksplozione motore; čišćenje sumpor-dioksida u kontaktnom načinu proizvodnje sumporne kiseline iz pirita; čišćenje otpadnog zraka iz pilana i radionica za obradu drva, brušenje kamena ili metalova, iz mlinova i prostorija gdje se fino samljeven materijal pakuje u vreće; čišćenje dimnih plinova iz kotlovnica, tvornica cementa itd. Čišćenje otpadnih plinova iz talionica, sušara i sl. ide i za tim da očisti plin i za tim da iz njega dobije vrijedni suspendirani materijal. Odvajanje čvrstog produkta suspendiranog u plinu obavlja se metodama čišćenja plinova pri dobivanju mlijeka, jaja, sapuna itd. u prahu, u proizvodnji cink-oksida i čade, pri pneumatskom transportiranju i sušenju materijala, itd.

Odvajkada se u nekim obrtima i industrijama stvara prah i dim, i odavna su se u nekim slučajevima poduzimale mjere da se time ne zagaduju radne prostore i atmosfera okoline — naročito ako je to zahtijevala takoder ekonomika postupka iako su na to prisiljavali zakonski propisi. Ali tebi u novije vrijeme, s intenzivnim razvojem industrije, s porastom svijesti o štetnosti zagadnje atmosfere i sve strožim propisima zakonodavca radi sprečavanja njenog zagadzivanja, sa sve većim zahtijevima tehnike i ekonomike postupaka u pogledu čistoće plinova i rekuperiranja u njima suspendiranog praha, tehnika je čišćenja plinova postala posebna važna grana tehnologije, počelo je naučno istraživanje radi objašnjenja teorijskih osnova starih postupaka i razvijanja novih, izrasla je industrija koja izrađuje aparate za čišćenje plinova, s poduzećima često specijaliziranim za izradu i razvoj aparata namijenjenih određenim granama proizvodnje: tvornicama čade, ljevaonicama, tvornicama cementa, talionicama metala, željezarama, mlinovima, kemijskim tvornicama, tvornicama boja, tvornicama plastičnih masa, rudarstvu itd. Usljedi toga su stari postupci u posljednjim godinama znatno dotjerani, te npr. skruberi i mehanički filtri konkuriraju elektrofiltrima pri uklanjanju submikronskog praha iz plinova, a elektrofilteri se upotrebljavaju također za čišćenje vrvičnih plinova i plinova pod pritiskom. Među važnja nova dostignuća tehnike čišćenja plinova ide automatska regulacija rada elektrofiltera i gradnja elektrofiltera od prefabriciranih jedinica po modulnom sistemu, što omogućava njihovu primjenu i u manjim postrojenjima.

**Veličina čestica praha.** Za čišćenje plinova indiferentno je najčešće da li su u njima suspendirane čvrste čestice ili sitne kapljice (u nastavku će se mahom govoriti naprsto o prahu i o dosprišavanju), ali je vrlo važan stupanj disperzije suspendirane tvari. Kako se vidi iz sl. 1, najkrupnije čestice različitih onečišćenja u zraku mogu od najsitnijih biti veće po linearnim dimenzijama i više od hiljadu puta, tj. po volumenu više od milijardu puta; razumljivo je da se za uklanjanje jednih i drugih neće moći upotrijebiti isti aparat, ili i ista metoda, pa je veličina čestica važan parametar pri izboru i konstrukciji aparata za čišćenje plinova. Za karakterizaciju veličine jedne čestice praha upotrebljava se najčešće njezin srednji promjer ( $d$ ) ili ekvivalentni promjer  $d_e$  (tj. promjer kugle istog volumena) u mikronima (mikrometrima,  $\mu\text{m}$ ), ali kako pri uklanjanju čestica iz plina redovito nije važna samo njihova veličina, nego također specifična masa i oblik, često je uputno veličinu pojedine čestice karakterizirati njenom *srednjom brzinom padanja (tonjenja)* ( $w$ ) u mirujućem zraku; ta brzina zavisi od ekvivalentnog promjera  $d_e$ , specifične mase  $\rho_e$  čestice, od specifične mase  $\rho_z$  i dinamičkog viskoziteta zraka  $\eta_z$  prema Stokesovom zakonu:

$$w = (\rho_e - \rho_z) \frac{g d_e^2}{18 \eta_z},$$

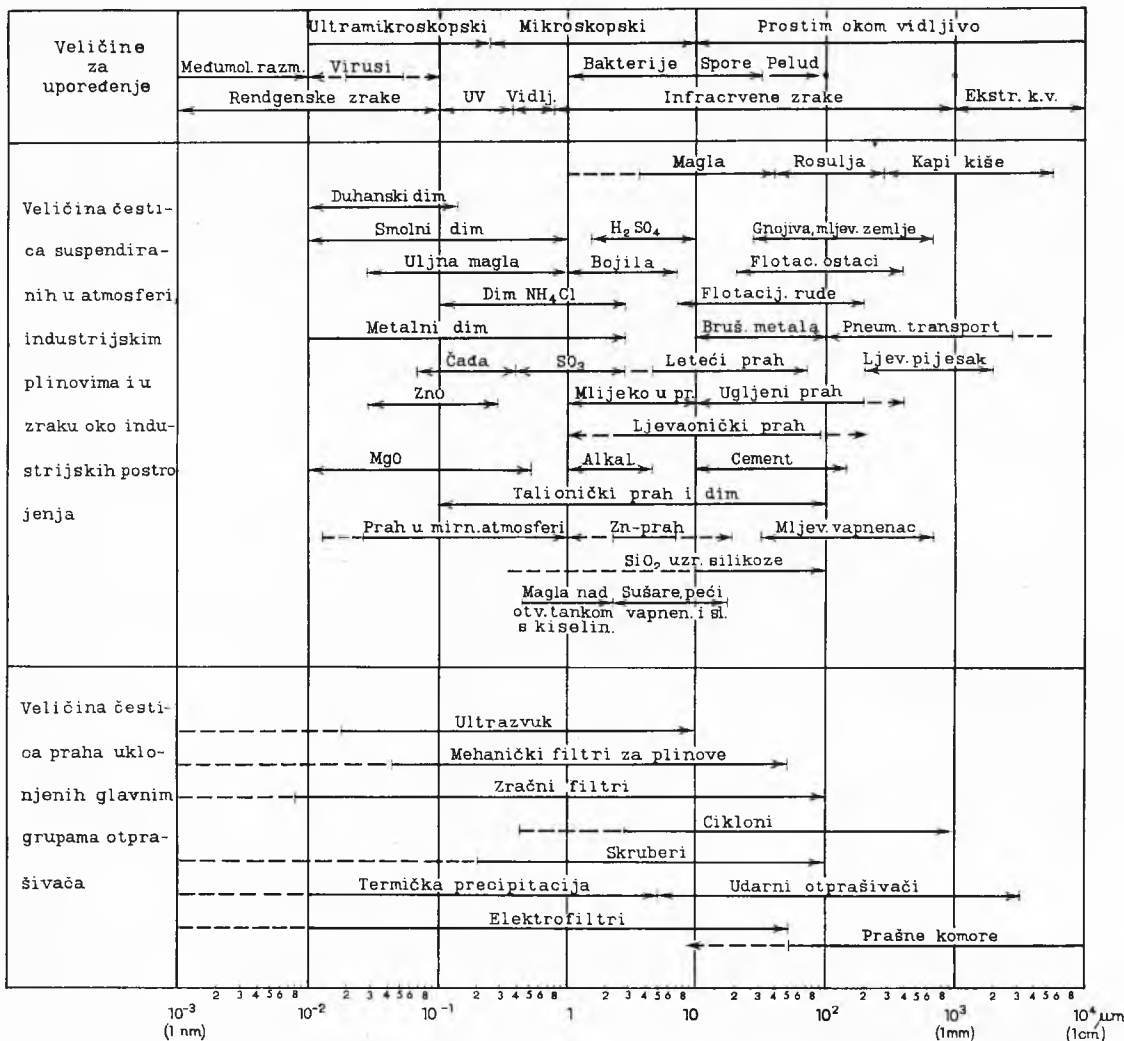
gdje je  $g$  ubrzanje sile teže. Zbog  $\rho_e \ll \rho_z$  može se pisati

$$w = \rho_e \cdot g d_e^2 / 18 \eta_z. \quad (1)$$

Iz toga se lako izračuna srednja brzina tonjenja iste čestice u zraku druge temperature i/ili određenog pritiska (drugog viskoziteta), ili u kojem drugom plinu različitog viskoziteta, ako je poznata brzina tonjenja u zraku određene temperature i/ili određenog pritiska (određenog viskoziteta).

U kolektivu čestica, npr. skupu svih čestica sadržanih u određenom volumenu plina, čestice nisu sve iste veličine. Da bi se stupanj disperznosti u kolektivu čestica nejednake veličine ka-

## ČIŠĆENJE PLINOVA



Sl. 1. Velicina čestica različitih prahova i magla. Područja primjenljivosti aparata za čišćenje plinova

Rakterizira jednim brojem, definiraju se različite srednje veličine čestica. To jest, stvarni kolektiv zamjenjuje se fiktivnim, sastavljenim od čestica jednake veličine  $d_0$  i u takvom broju  $n_0$  da su oba kolektiva u odnosu na određena svojstva ekvivalentna. Označi li se broj čestica koje imaju promjer između  $d_i$  i  $d_{i+1}$  sa  $n_i$  ( $i = 1, 2, 3 \dots$ ), ukupni volumen, ukupna površina, ukupni promjer (sumu promjerâ) i ukupni broj čestica sa  $V, F, D, N$  za prvobitni kolektiv a istim oznakama s indeksom 0 za fiktivnu raspodjelu, dobivaju se, uz pretpostavku da čestice imaju oblik kugle, ove jednadžbe za odnose između  $V_0, F_0, D_0, N_0$  i  $d_0, n_0$ , odn. između  $V, F, D, N$  i  $d_i n_i$ :

$$\text{Ukupni volumen: } V_0 = n_0 d_0^3 \pi / 6; \quad V = (\pi / 6) \sum_i n_i d_i^3; \quad (2)$$

$$\text{Ukupna površina: } F_0 = n_0 d_0^2 \pi; \quad F = \pi \sum_i n_i d_i^2; \quad (3)$$

$$\text{Ukupni promjer: } D_0 = n_0 d_0; \quad D = \sum_i n_i d_i; \quad (4)$$

$$\text{Ukupni broj: } N_0 = n_0; \quad N = \sum_i n_i. \quad (5)$$

Lako je uvidjeti da je nemoguće odrediti fiktivni kolektiv čestica koji bi imao i ukupni volumen, i ukupnu površinu, i ukupni promjer, i ukupni broj čestica jednake kao promatrani kolektiv, tj. da je nemoguće istovremeno zadovoljiti sva četiri uvjeta:  $V_0 = V$ ,  $F_0 = F$ ,  $D_0 = D$  i  $N_0 = N$ , jer raspoložemo svega dvjema varijablama,  $n_0$  i  $d_0$ . Ako se njihove vrijednosti izračunaju iz jedn. (2) i (3) sa  $V_0 = V$  i  $F_0 = F$ , dobije se *površinski ili volumenski srednji promjer*:

$$d_0 = d_A = \frac{6V}{F} = \frac{\sum_i n_i d_i^3}{\sum_i n_i d_i^2},$$

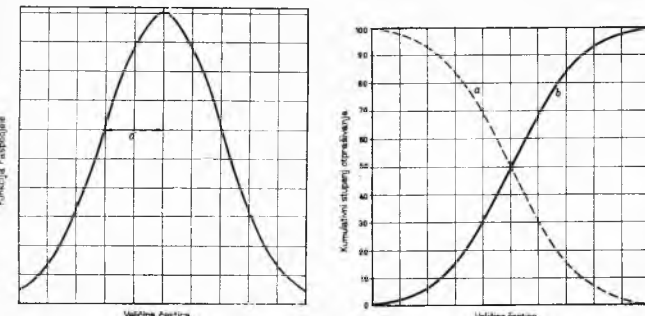
koji imaju sve čestice fiktivnog kolektiva s istom ukupnom površinom i istim ukupnim volumenom kao promatrani kolektiv; broj čestica tog fiktivnog kolektiva nije jednak broju čestica promatranoj kolektiva. Ako sve čestice praha imaju istu specifičnu težinu, volumenski srednji promjer istovremeno je i *težinski srednji promjer*, koji se dobije i kad se pojedine frakcije važu namjesto da im se broje čestice. Ako se podijele jedn. (4) i (5), sa  $D_0 = D$  i  $N_0 = N$ , dobije se *aritmetički srednji promjer*:

$$d_0 = \bar{d} = \frac{D}{N} = \frac{\sum_i n_i d_i}{\sum_i n_i}.$$

U ovom slučaju fiktivni kolektiv ima isti broj čestica kao promatrani, promjer česticâ fiktivnog kolektiva prosjek je (aritmetička sredina) promjerâ česticâ promatranoj; ukupna površina i volumen čestica u oba su kolektiva različiti. Već prema prilikama birat će se za izražavanje stepena disperznosti jedan ili drugi srednji promjer (ili koji treći, dobiven drugom kombinacijom dviju od jednadžbi 2-5). Treba, međutim, pri tom držati na umu da su dva kolektiva, i u slučaju da su im čestice zaista kugle, ekvivalentni isključivo u pogledu odnosnih geometrijskih svojstava, a fizički se mogu ponašati i različito. U slučaju da čestice imaju od kugle (i među sobom) različit oblik, treba, da bi se postigla ekvivalentnost i u određenom geometrijskom pogledu, primijeniti odgovarajuće korekture za odstupanje od pretpostavljenog oblika.

Za izbor i konstrukciju otpaćivača plinova nije dovoljno znati prosječnu ili srednju veličinu čestica praha, već je potrebno imati i informaciju o njegovom *granulometrijskom sastavu*, tj. raspodjeli

čestica po veličini. Ta se raspodjela može prikazati histogramom ili krivuljom raspodjele (v. Čada, str. 6 i 7) — koji mogu prikazivati bilo udio broja čestica pojedinih frakcija u ukupnom broju bilo težinski udio pojedinih frakcija po veličini u ukupnoj težini — a najčešće se daje u obliku integralne krivulje funkcije raspodjele, koja se naziva *kumulativnom krivuljom raspodjele* ili *karakteristikom praha*. Ordinata svake tačke te krivulje pokazuje kolik udio u ukupnoj težini kolektiva čestica predstavljaju sve čestice s promjerom manjim (sl. 2 a) ili većim (sl. 2 b) od promjera prikazanog pripadnom apscisom. Nacrtana na tzv. vjerojatnosnom papiru, kumulativna krivulja raspodjele prikazana je pravcem ako su čestice kolektiva po veličini normalno raspodijeljene, tj. ako ta krivulja predstavlja integralnu krivulju Gaussove funkcije raspodjele; drugičije raspodijeljeni kolektivi prikazani su obično krivuljama koje se od pravca mnogo ne razlikuju. U nedostatu



Sl. 2. Krivulje raspodjele normalno raspodijeljenog kolektiva čestica. Lijevo Gaussova krivulja, u sredini kumulativna krivulja raspodjele, desno ista u aritmetičko-vjerojatnosnoj anamorfizi

potpunije granulometrijske analize praha, često se s dovoljnom tačnošću može pretpostaviti da su čestice po veličini normalno raspodijeljene i na vjerojatnosnom papiru nacrtati približna karakteristika praha, kao pravac, na osnovu malog broja podataka. Priklon tog pravca to je veći što su šire granice unutar kojih veličine čestica odstupaju od srednje vrijednosti. Mjera za tu veličinu odstupanja je standardna devijacija  $\sigma$ , koja je na Gaussovoj krivulji prikazana razlikom apscisā maksimuma i tačke infleksije. Budući da površina ispod dijela Gaussove krivulje između maksimuma i tačke infleksije predstavlja 34,135% cjelokupne površine ispod krivulje, nagib pravca koji prikazuje kumulativnu raspodjelu normalno raspodijeljenog kolektiva čestica takav je da ordinatama tačaka pravca između 50% i 50 — 34,135 = 15,865% odgovaraju apscise između srednje vrijednosti i vrijednosti  $\sigma$  (v. Statistika).

**Zaprašenost plina**, tj. masa čvrstih ili tekućih čestica suspendiranih u jedinici volumena plina, dalji je podatak koji je često

#### Zajedničke karakteristike aparata za čišćenje plinova.

Gotovo svi aparati za čišćenje plinova djeluju time što se u njima suspendirane čestice prisiljavaju da se kreću u pravcu različitom od pravca strujanja plina. Usljed tog kretanja čestice ili dolaze u dodir s nekom čvrstom ili tekućom površinom na kojoj se skupljaju, ili se koncentriraju u jednom dijelu struje plina koji se zajedno s njima odbacuje ili odvodi u sekundarni proces čišćenja. Odvojeno kretanje čestica može se izazvati na različite načine: iskoristavanjem efekata inercije (npr. i centrifugalne sile), djelovanjem vanjskih polja (elektrostatičkog, akustičkog, termičkog, gravitacijskog) i molekularnim gibanjem (difuzijom). Usljed te identičnosti fizičkih osnova svih glavnih načina odvajanja praha iz plina, one se načelno mogu prikazati istim skupom matematičkih izraza. Analitički se opći izrazi za kretanje čestica zbog zamršenosti djelovanja navedenih sila ne mogu postaviti, ali iz njihove načelne

identičnosti slijedi da će se na sve operacije odvajanja praha moći primijeniti na isti način dimenzijska analiza, tj. moći će se provesti korelacija eksperimentalno određenih podataka o učinku aparature sa jednom serijom bezdimenzijskih parametara (v. Dimenzijska analiza). Konkretno se radi o tome da se prikaže korelacija između dva najvažnija podatka za utvrđivanje učinka i ekonomičnosti aparature: stupnja otprašivanja i pada pritiska, s jedne strane, i različitih karakterističnih parametara, kao veličine čestica praha,

ha, brzine strujanja plina i gibanja čestica, gustoće plina i čestica praha, viskoziteta i difuzivnosti plina, dimenzija aparature, s druge strane, za geometrijski slične aparate. Bezdimenzijske grupe koje dolaze u obzir kad nema djelovanja vanjskih polja jesu: Reynoldsov broj  $Re = d v_p \rho_p / \eta$  (omjer sila inercije i viskoznosti), Schmidtov broj  $Sc = \eta / \rho_p D_p$  (omjer sila difuzije i viskoznosti), Stokesov broj  $Sk = d^2 \rho_e v_e / 18 \eta l$  (jedan modificirani Reynoldsov broj pomnožen s omjerom jedne dimenzije čestice i jedne dimenzije aparata za čišćenje), Eulerov broj  $Eu = \Delta p / \rho_p v_p^2$ , (omjer sila pritiska i viskoznosti). U tim bezdimenzijskim izrazima  $d$  znači promjer čestica,  $v$  brzinu,  $\rho$  gustoću,  $\eta$  viskozitet,  $D$  koeficijent difuzije,  $l$  karakterističnu dimenziju aparature,  $\Delta p$  pad pritiska, a indeksi  $e$  i  $c$  odnose se na plin odn. čestice praha. Za aparate koji se koriste djelovanjem vanjskih polja — kao električkog i gravitacijskog — u račun ulaze dalje bezdimenzijske grupe koje sadrže njihove parametre.

*Stupanj dobrote otprašivača* ili *stupanj (potpunosti) otprašivanja*  $\eta$  obično se definira kao odnos mase praha koji ulazi u aparat i mase praha koji izlazi iz aparata s određenom masom plina. Taj bezdimenzijski broj, prema  $\pi$ -teoremu dimenzijske analize, za geometrijski slične aparate funkcija je samo serija bezdimenzijskih brojeva, i to, kad nema djelovanja vanjskih polja, brojeva  $Re$ ,  $Sc$  i  $Sk$ ; oblik te funkcije treba odrediti eksperimentalno. Uobičajeni postupak da se ta funkcija izrazi umnoškom potencija bezdimenzijskih brojeva ne može se bez daljeg primijeniti u ovom slučaju jer stupanj otprašivanja ima maksimalnu vrijednost 1. Stoga se tehnička efektivnost aparata, namjesto da se izrazi udjelom mase praha koji je iz plina uklonjen, izražava s pomoću udjela mase praha koji je u plinu ostao, omjera  $(1 - \eta)$ , i to brojem  $E = \ln [1/(1 - \eta)] = -\ln(1 - \eta)$ . Taj broj, koji se zove faktor dekontaminacije, očito se mijenja od 0 do  $\infty$  kad se  $\eta$  mijenja od 0 do 1, pa se može prikazati kao umnožak potencija bezdimenzijskih brojeva:

$$E = \ln [1/(1 - \eta)] = -\ln(1 - \eta) = K_E Re^m Sc^n Sk^p, \quad (6)$$

gdje se koeficijent  $K_E$  i eksponenti  $m$ ,  $n$ ,  $p$  moraju odrediti korelacijom s eksperimentalnim podacima.

Pad pritiska načelno se može, analogno, prikazati izrazom:

$$Eu = K_{\Delta p} Re^q Sc^r Sk^s. \quad (7)$$

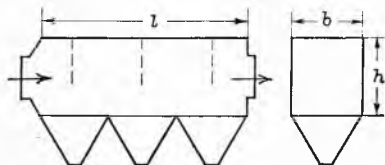
potreban u izboru otprašivača. Izražava se u gramima ili miligramima po kubnom metru, u engleskom sistemu mjera u gramima na kubnu stopu ili 1000 kubnih stopa (1 gr./1000 cu.ft. = 2,288 mg/m³). Tabl. 1 prikazuje u kojim se rasponima kreće zaprašenost atmosfere i nekih industrijskih plinova.

U narednom poglavlju, kad će biti govora o pojedinim aparatima za čišćenje plinova, pokazat će se kako se te jednadžbe modificiraju za neke od tih aparata i kako se primjenjuju.

**Podjela aparata za čišćenje plinova.** Aparati za čišćenje plinova običavaju se dijeliti na suhe — u kojima se čestice praha skupljaju na suhim čvrstim ploham ili vlaknima — i na mokre — u kojima se skupljaju na kapima tekućine, površinama tekućih slojeva ili ovlaženim vlaknima. Prema načinu kojim se čestice praha u njima odvajaju od struje plina, aparati se mogu grubo podijeliti na gravitacijske otprašivače, inercijske otprašivače, elektrostatičke precipitatore, ultrazvučne precipitatore, termičke precipitatore i aparate koji djeluju koristeći se istovremeno dje-lovanjem difuzije, inercijom čestica i njihovim direktnim zadržavanjem sabirnim površinama. Najvažniji gravitacijski otprašivač je *prašna komora*, od inercijskih otprašivača najvažniji je *ciklon*, a osim njega se upotrebljavaju *udarni otprašivači i mehanički centrifugalni otprašivači*. Od precipitatora upotrebljavaju se u velikoj mjeri jedino elektrostatički precipitatori, zvani takoder *elektrofilteri*. U posljednju grupu, aparate s kombiniranim dje-lovanjem, idu *filtri*, punjene kolone i *skruberi* različitih konstrukcija. U nastavku će se obraditi glavne vrste aparata za čišćenje plinova ne držeći se nijedne od navedenih klasifikacija, koje se i ne mogu uvijek strogo provesti, a između sebe se presijecaju.

### Gravitacijski i udarni otprašivači

**Prašna komora** (sl. 3) je najstariji i najjednostavniji uredaj za otprašivanje plinova. To je u najjednostavnijoj izvedbi prazna horizontalna komora pravokutnog presjeka u kojoj se strujanje plina usporava toliko da komponenta brzine čestica u smjeru sile teže (vertikalna) postaje znatno veća od komponente u smjeru strujanja plina (horizontalne), pa se čestice odvajaju od plina time što padaju (tonu) na dno komore. Ako je  $w$  brzina tonjenja čestice određene veličine,  $v_p$  brzina strujanja plina u komori i  $l$  duljina komore, vertikalni put  $s$  koji će prevaliti čestica za vrijeme  $t$  ( $t = l/v_p$ ) dok prijeđe horizontalnu udaljenost  $l$  bit će  $s = w t = w l/v_p$ . Sve čestice praha te veličine koje se pri ulazu u komoru nalaze na udaljenosti  $x \leq s$  od dna komore dospjet će da padnu na dno, a sve koje se nalaze na većoj udaljenosti  $s < x \leq h$  bit će odnesene strujom plina iz komore i izbjegći će taloženju. Čestice



Sl. 3. Prašna komora. Umetanjem pregrada (crtkano) poboljšava se uslijed inercijskog dje-lovanja stupanj dobrote odvajanja praha, ali se povećava pad pritiska

su u plinu jednolično rasporedene, pa su i čestice uočene veličine jednolično rasporedene po visini komore, stoga je omjer masa ukupno taloženih i prisutnih čestica te veličine, tj. stupanj otprašivanja  $\eta_w$  u odnosu na čestice te veličine (frakcijski stupanj otprašivanja) jednak omjeru dužina  $s$  i  $h$ :

$$\eta_w = \frac{s}{h} = \frac{w l}{v_p h} = \frac{w b l}{q}, \quad (\eta \leq 1). \quad (8)$$

Pri tom je

$$q = A v_p = b h v_p \quad (9)$$

protok plina kroz komoru (volumen u jedinici vremena),  $b$  širina komore,  $A$  presjek komore okomito na smjer strujanja.

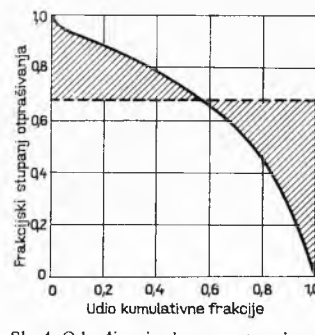
Za najmanje čestice koje se u prašnoj komori upravo još istalože iz plina (granične čestice veličine  $d_g$  i brzine tonjenja  $w_g$ ) vrijedi  $\eta_w = 1$ , te je

$$1 = \frac{w_g b l}{q}. \quad (10)$$

Podijeli li se s tom jednadžbom jednadžba (8), dobije se:  $\eta_w = w/w_g$  i, prema jedn. (1),  $\eta_w = \frac{d^2}{d_g^2}$ .

Krivulja frakcijske dobrote otprašivanja, koja prikazuje zavisnost između  $\eta_w$  i  $w/w_g$ , odn.  $d^2/d_g^2$ , za prašnu je komoru, dakle (teorijski) pravac; ona je nezavisna od granulometrijskog sastava praha te predstavlja karakteristiku otprašivača.

Ukupni stupanj otprašivanja  $\eta$  može se iz frakcijskih stupnjeva za pojedine veličine čestica izračunati tako da se kolektiv čestica podijeli na frakcije sa srednjim veličinama  $d_i$  odn.  $w_i$ , za svaku frakciju odredi odgovarajući  $\eta_{wi}$  prema jedn. (8), i ti frakcijski stupnjevi otprašivanja nanesu nad težinskim udjelima odgovarajućih frakcija u kolektivu (prema kumulativnoj funkciji težinske raspodjele kolektiva) u pravokutnom koordinatnom sistemu; srednja ordinata dobivena krivulje (za koju su na sl. 4 srađirane površine jednake) predstavlja ukupni stupanj otprašivanja aparata za dati prah. Ukupni stupanj otprašivanja ne predstavlja dakle, poput



Sl. 4. Određivanje ukupnog stupnjeva otprašivanja iz frakcijskih stupnjeva grafičkom integracijom

frakcijskog, karakteristiku otprašivača, nego zavisi i od granulometrijskog sastava praha.

Prašna se komora projektira za određenu graničnu česticu, tj. za potpuno uklanjanje svih zrna granične veličine  $d_g$ . Iz jedn. (10) s jedn. (1) i (9) slijedi:

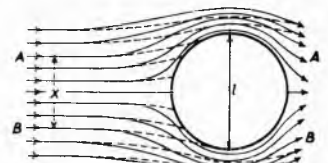
$$l = \frac{18 h v_p \eta_p}{\gamma_p d_g^2} = \frac{18 h q \eta_p}{A \gamma_p d_g^2} = \frac{18 q \eta_p}{b \gamma_p d_g^2}$$

( $\eta$  je ovdje viskozitet!). S pomoću tih se jednadžbi mogu izračunati dimenzije prašne komore za potpuno uklanjanje čestica granične veličine  $d_g$  i većih, za dani protok  $q$  plina specifične težine  $\gamma_p$  i viskoznosti  $\eta$ . Presjek  $A$  treba birati tako da uz dati  $q$  brzina strujanja  $v_p$  nije tolika da užvitlava istaloženi prah; obično  $v_p$  treba da je manji od  $\sim 3$  m/s. Kako se vidi iz jedn. (8),  $\eta$  pri datom  $q$  ne zavisi od visine komore  $h$ , pa se ta visina može slobodno birati. Nezavisnost dobrote čišćenja od visine komore iskorištava se umetanjem horizontalnih pregrada u visoku komoru, što je ekvivalentno smještanju većeg broja paralelnog spojenih komora na istoj tlocrtnoj površini. Nedostatak je takve komore s pregradama što ju je znatno teže čistiti nego praznu i što se pregrade na visokim temperaturama mogu deformirati.

Prašne komore mogu se, prema vrsti plina, temperaturi itd. graditi od najrazličitijih materijala i zbog svoje jednostavne konstrukcije one su jeftine u nabavci, a i u pogonu, budući da je pad pritiska kroz njih malen: on nastaje poglavito zbog mjesnih otpora na ulazu i izlasku plina. Ipak, praktički je korisnost prašne komore ograničena na uklanjanje čestica većih od  $40 \mu\text{m}$ , jer bi za uklanjanje manjih čestica komora morala biti pretjerano velika.

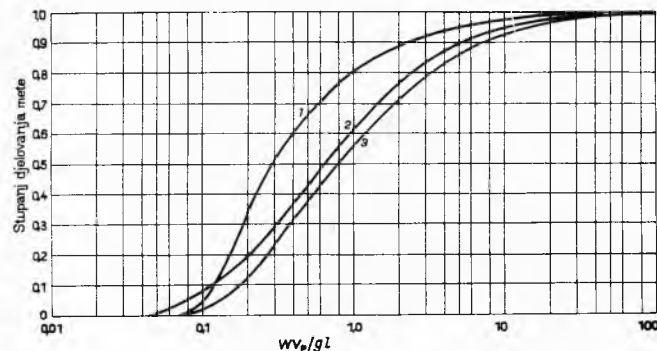
**Udarni otprašivači** su inercijski uredaji u kojima se struja plina onečišćenog prahom sukobljava s površinama koje su joj poput zapreke stavljene na put (deflektora); struja se plina time skreće s puta, dok čestice praha, zbog inercije, nalete na deflektor i na njemu se skupljaju. Skupljeni prah, prema konsistenciji, sam otpada s deflektora, ili se zbacuje time što se oni u određenim razmacima vremena potresaju, ili se splakuje vodom.

Stupanj dobrote udarnog otprašivača može se svesti na stupanj dobrote pojedinog njegovog elementa na kojemu se prah skuplja, tzv. stupanj iskorištenja mete (target efficiency)  $\eta_t$ . To je omjer mase čestica koje se sudaraju sa deflektorom (metom) i mase čestica sadržane u ukupnom volumenu plina koji pri-lazi zapreci. Tako, npr., za cilindrični deflektor prema sl. 5 samo one čestice koje se pri prilaženju meti nalaze između strujnica  $A$  i  $B$  na kraju će se s njome sudariti i na njoj se zadržati, pa će efektivnost mete biti  $\eta_t = x/l$ . Može se pokazati dimenzijskom analizom da  $\eta_t$



Sl. 5. K definiciji stupnja iskorištenja mete

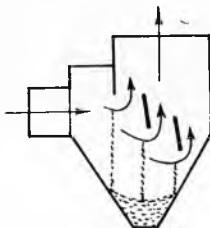
mora biti funkcija Stokesova broja  $Sk = d^2 \rho_{\text{c}} v_{\text{c}} / 18 \eta l$ , koji se s pomoću jedn. (1) može transformirati u oblik  $Sk = w v_p / g l$  ( $v_p$  se od  $v_c$  razlikuje samo jednim bezdimenzijskim faktorom). Za jednostavne oblike mete oblik se te funkcije može odrediti klasičnom hidrodinamikom, za zamršenje oblike treba ga eksperimentima utvrditi. Sl. 6 prikazuje zavisnost između  $\eta_t$  i  $w v_p / g l$  za tri



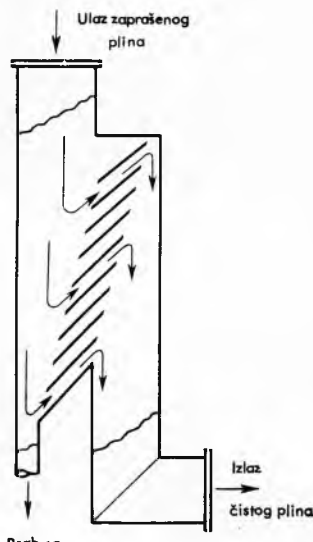
Sl. 6. Zavisnost stupnja iskorištenja nekih mete od bezdimenzijske grupe  $w v_p / g l$   
1 Vrppca ( $l$  je širina vrpce), 2 kugla, 3 cilindr ( $l$  je polumjer kugle odn. presjeka cilindra)

oblika mete i za uvjete pod kojima za kretanje čestica važi Stokesov zakon. Ovakve krivulje, iako važe strogo samo za pojedinačnu metu u beskonačnom plinu i za odredene uvjete (oblik mete, priroda strujanja) mogu korisno poslužiti za više ili manje aproksimativno predskazivanje stupnja dobrote udarnih otprašivača. Sl. 7 prikazuje tipični aparat za čišćenje plina po principu udarnog otprašivanja. Takvi se aparati konstruiraju općenito za pad pritiska  $0,2 \dots 4 \text{ cm H}_2\text{O}$  i za uklanjanje čestica pretežno većih od  $10 \dots 20 \mu\text{m}$ .

Jedan od najstarijih tipova inercijskog otprašivača je *otprašivač sa žaluzijama* (sl. 8). U njemu se struja onečišćenog plina sukobljava s elementima



Sl. 7. Primjer udarnog otprašivača



Sl. 8. Otprašivač sa žaluzijama

žaluzija, koji skreću glavnu struju plina, očišćenu od praha, tako da izlazi između njih u okolinu, a manji dio struje ( $\sim 10\%$ ), obogaćen prahom, nastavlja put i izvlači se u sekundarni odjeljivač praha ili izbacuje na nekom mjestu udaljenom od ulaza plina u otprašivač. Otprašivač sa žaluzijama po pravilu nije pogodan za velike koncentracije abrazivnog praha, ali zbog svoje jednostavnih i kompaktne konstrukcije u novije je vrijeme našao široku primjenu za čišćenje plinova kojima je onečišćenje malo prevveliko za običnu filtraciju. Njime se može postići stupanj otprašivanja iznad 90% čestica od  $10 \mu\text{m}$ , uz pad pritiska od  $5 \text{ cm H}_2\text{O}$ .

#### Centrifugalni otprašivači

**Ciklon** je zbog jednostavne konstrukcije i ekonomičnog pogona najrašireniji aparat za čišćenje plinova od praha i uopće za razdvajanje faza u plinskim disperzijama. U njemu se za odvajanje praha od plina upotrebljava centrifugalna sila, koja nastaje time što se onečišćeni plin tjeran kroz ulazni nastavak (obično

pravokutnog presjeka u cilindričnu komoru na koju se nastavlja konični dio aparata (sl. 9). U ciklonu se time stvara dvostruki vrtlog u kojemu se plin kreće najprije na periferiji aparata spiralno odozgo dolje a onda kroz sredinu komore odozgo gore pa napolje kroz centralnu cijev, uvučenu odozgo u komoru do ispod razine ulaza plina. Pod djelovanjem centrifugalne sile čestice se kreću radikalno prema zidu komore i na njemu se nakupljaju; prah se spušta po zidu i oduzima se dolje iz ciklona. Ponekad, npr. kad su suspendirane čestice tekuće ili su ljepljive te same ne bi padale niz zid, zid se pokriva slojem tekućine koja prima čestice praha i splakuje ih do izlaza iz ciklona.

**Teorija strujanja plina kroz ciklon.** Strujanje plina — kao i kretanje čestica praha — i u najjednostavnijem ciklonu u stvari je zamršeno, te nije u svim pojedinostima ni poznato ili objašnjeno. Ali uz pojednostavujuće pretpostavke može se dobiti uvid koristan pri konstrukciji i ocjeni ciklona u različitim njegovim primjenama.

Ako se u prvom približenju zanemari unutrašnje trenje, otpor strujanja uslijed trenja o zidove, mjesnih otpora itd. i aksijalna brzina strujanja plina (tj. činjenica da se plin ne kreće po krivulji u ravnini presjeka nego po prostornoj krivulji) slijedi iz zakona o konstantnosti impulsa vrtnje:  $m v_t r = \text{konst.}$ , a zbog  $m = \text{konst.}$

$$v_t r = \text{konst.}, \quad (11)$$

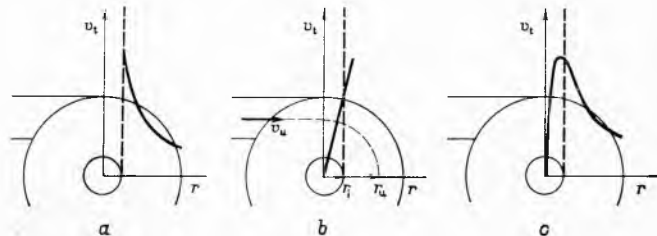
gdje je  $v_t$  obodna (tangencijalna) brzina strujanja plina na udaljenosti  $r$  od osi ciklona. Sa smanjenjem promjera obodna brzina strujanja dakle naglo raste po hiperbolnom zakonu i u samoj osi vrtnje ( $r = 0$ ) morala bi postati beskonačno velika (sl. 10a). To znači da sa smanjenjem udaljenosti od osi vrtnje pritisak postaje sve manji i u osi vrtnje bi morao iščezavati. Međutim, pritisak ne može postati manji nego što je pritisak na izlazu iz komore, stoga na određenoj udaljenosti  $r_1$ , koja uglavnom odgovara polumjeru izlazne cijevi, obodna brzina plina prestaje rasti, obrazuje se kao neka unutarnja granica vrtloga i onkraj te granice jezgra ili drugi vrtlog, u kojem se plin kreće po drugom zakonu nego u vanjskom vrtlogu. Pokazuje se, naime, da se jezgra okreće kao da ima beskonačno velik viskozitet ili kao da je čvrsto tijelo, tj. s konstantnom kutnom brzinom, odn. obodnom brzinom proporcionalnom udaljenosti od osi vrtnje (sl. 10b). Usljed viskoznosti plina obodna brzina ne raste tako naglo s opadanjem udaljenosti od osi vrtnje kao što to traži hiperbolni zakon (prema eksperimentalnim istraživanjima za viskozni plin važi zakon  $v_t^2 r = \text{konst.}$ , tj.  $v_t$  raste s recipročnom vrijednosti kvadratnog korijena od  $r$ ), a trenje o zidove i mjesni otpori također modificiraju zavisnost obodne brzine o radijusu vrtnje, tako da se obodna brzina stvarno mijenja u zavisnosti od radijusa vrtnje u načelu prema krivulji prikazanoj na sl. 10c.

Ako se sad uzme u obzir i aksijalna komponenta brzine (a radikalna se i dalje zanemaruje), vrijedi prema Bernoulliju (za plin bez viskoznosti):

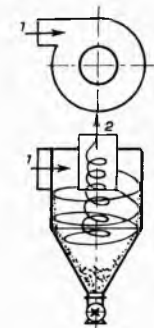
$$\frac{p}{\gamma} + \frac{v_a^2}{2g} + \frac{v_t^2}{2g} = \text{konst.}, \quad (12)$$

gdje je  $v_a$  aksijalna, a  $v_t$  obodna (tangencijalna) brzina.

U radikalnom smjeru je pad pritiska u diferencijalnom dijelu tekućine, npr. u paralelepipedu dimenzija  $a, b$  presjeka okomi-



Sl. 10. Tangencijalna brzina strujanja u presjeku ciklona



Sl. 9. Djelovanje ciklona. 1 Ulaz, 2 izlaz plina

## ČIŠĆENJE PLINOVA

tog na radijalni smjer i debljine  $dr$  u radijalnom smjeru, jednak (akceleracija puta masa kroz površina):

$$dp = -\frac{v_t^2}{r} \cdot \frac{dm}{F} = -\frac{v_t^2}{r} \cdot \frac{ab \cdot dr}{ab} \varrho = -\frac{v_t^2}{r} \varrho \cdot dr. \quad (13)$$

Prema jednadžbi (11):

$$r v_t = \text{konst.}, \quad r = \text{konst.} \cdot \frac{1}{v_t}, \quad dr = -\text{konst.} \cdot \frac{dv_t}{v_t^2} = -r \frac{dv_t}{v_t},$$

a to uvršteno u (13) daje

$$dp = -\varrho v_t dv_t = -\frac{\gamma}{g} v_t dv_t,$$

što integrirano daje:

$$\frac{p}{\gamma} = \frac{v_t^2}{2g} + \text{konst.}$$

Iz ove posljednje jednadžbe i (12) slijedi:

$$v_a^2/2g = \text{konst.} \quad \text{i} \quad v_a = \text{konst.},$$

tj. aksijalna je brzina u svim tačkama plinske struje jednakna.

Djelovanje radijalne komponente brzine slijedi iz razmatranja datog u nastavku (pri kojem je zanemarena aksijalna komponenta brzine). Prema zakonu kontinuiteta, kroz svaku koaksijalnu cilindarsku plohu u cilindričnoj komori ciklona mora da prolazi ista količina plina  $v_r \cdot A = v_r \cdot 2\pi l = \text{konst.}$ , gdje je  $v_r$  radijalna komponenta brzine,  $A$  površina,  $l$  duljina cilindra. Iz toga slijedi:  $v_r r = \text{konst.}$ , a to podijeljeno s jednadžbom momenta impulsa vrtnje,  $v_t r = \text{konst.}$ , daje  $v_r/v_t = \text{konst.}$ . To znači da je kut  $\alpha$  između strujnice i radijusvektora u cijelom ciklonu konstantan, tj., ako se zanemaruju unutrašnji i vanjski otpori strujanju, strujnice su logaritamske spirale. U slučaju viskoznih plinova i prisutnosti otpora strujanju, radijalna komponenta brzine zbog zakona kontinuiteta ostaje jednakna, a tangencijalna stremi više ili manje vrijednosti  $v_t \rightarrow \text{konst.}$ , tj. spirala postaje strmija, arhimedska.

Sve u svemu može se zaključiti da čestice plina prolaze odozgo dolje kroz ciklon po prostornoj krivulji kakvu opisuje tačka koja se kreće sve većom brzinom s periferije prema centru po spiralu, u ravnini koja se istovremeno jednoličnom brzinom kreće odozgo dolje u pravcu okomitom na tu ravninu.

**Pad pritiska u ciklonu.** Padu sile pritiska u radijalnom smjeru mora držati ravnotežu centrifugalna sila, tj. uvjet ravnoteže sila u smjeru radijusa  $r$  glasi:

$$\varrho \frac{v_t^2}{r} = \frac{dp}{dr}.$$

Oznaci li se sa  $v_u$  brzina struje plina na ulazu u ciklon, a sa  $r_u$  udaljenost ulaza od osi ciklona (v. sl. 9), vrijedi:  $v_u r_u = v_t r$ , a iz toga proizlazi:

$$v_t = \frac{v_u r_u}{r} \quad \text{i} \quad \varrho \frac{v_u^2 r_u^2}{r^3} = \frac{dp}{dr} \quad \text{ili} \quad dp = \varrho \frac{v_u^2 r_u^2 dr}{r^3},$$

iz čega integriranjem slijedi pritisak za proizvoljni radijus  $r$ , ako na izlaznom radijusu  $r_i$  vlada pritisak  $p_i$ :

$$p = p_i - \frac{\varrho v_u^2 r_u^2}{2} \left( \frac{1}{r_i^2} - \frac{1}{r^2} \right).$$

Postavi li se  $r = r_u$ , slijedi iz toga pritisak na ulazu koji je potreban da bi se tamo održala brzina  $v_u$ . Pad pritiska između ulaza i izlaza je onda:

$$\Delta p = p_u - p_i = \frac{\varrho v_u^2}{2} \left[ \left( \frac{r_i}{r_u} \right)^2 - 1 \right].$$

Dakle i kad nema unutarnjeg i vanjskog trenja, odn. otpora strujanju, za pogon ciklona je potreban pad pritiska. Ekvivalent utrošenog rada nalazi se u energiji rotacije plina koji izlazi. Činjeni su pokusi da se ta energija bar većim dijelom rekuperira, ali kod većine ciklona se ona danas uglavnom gubi. Teorijski se pad pritiska povećava uslijed viskoznosti plina i vanjskih otpora strujanju. Razvite su metode s pomoću kojih se, uz izvjesne pojednostavujuće pretpostavke, može približno izračunati faktični ukupni pad pritiska iz dimenzija ciklona i protoka određenog plina.

Prema jednoj tako dobivenoj formuli pad pritiska u ciklonu dat je ovom jednadžbom:

$$\Delta p = \varrho \frac{v_u}{2} \left[ 16 \frac{A}{d_1^2} - 4 \frac{A}{\pi d_1^2} \left( 1 + \lambda \frac{L_1}{d_1} \right) - 1 \right],$$

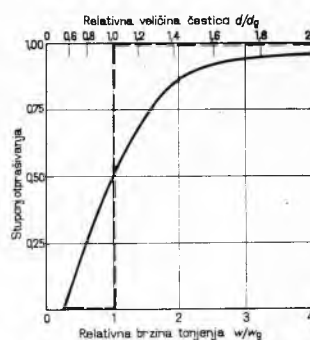
gdje je  $A$  površina presjeka ulazne cijevi ciklona ( $v_u A$  je protok plina),  $d$  i  $L$  promjer i duljina odvodne cijevi,  $\lambda$  koeficijent otpora u odvodnoj cijevi.

### Kretanje čestica praha i stupanj otprašivanja u ciklonu.

Na česticu praha u ciklonu djeluju centrifugalna sila  $F_c = G v_t^2/g r$ , koja česticu tjeru radijalno prema zidu ciklona, i otpor zraka koji se tom radijalnom kretanju čestice suprotstavlja. Pretpostavili li se važenje Stokesova zakona, taj otpor iznosi  $F_{\text{otp}} = G v_r w$  ( $G$  je težina čestice,  $v_r$  obodna brzina,  $v_t$  radijalna brzina,  $r$  udaljenost čestice od osi vrtnje,  $w$  srednja brzina tonjenja čestice u mirnom plinu,  $g$  ubrzanje sile teže; v. i jedn. 1). Može se zamisliti da se podjela čestica na one koje putuju prema zidu ciklona i one koje bivaju odnesene iz ciklona zbiva na granici unutrašnjeg i vanjskog vrtloga, tj. na cilindru polumjera  $r_i$ , jednakog polumjeru izlazne cijevi ciklona, i visine  $h$ , jednake visini operativnog dijela ciklona. Na udaljenosti  $r_i$  od osi vrtnje obodna je brzina  $w_{ti}$ , a radijalna brzina plina jednaka je  $w_{ri} = V/2 r_i \pi h$  (gdje je  $V$  protok plina). Čestica na toj udaljenosti od osi vrtnje (na granici vrtloga) za koju je centrifugalna sila jednaka sili otpora zraka neće biti ni odnesena na zid ciklona ni strujom plina uklonjena iz ciklona, nego će se zadržati na plaštu spomenutog cilindra (praktički: polovica čestica frakcije kojoj pripada ta čestica zadržat će se u ciklonu a polovica će izbjegći uklanjanju iz plina). Veličina te granične čestice (za koju je, dakle, frakcijski stupanj odvajanja praha 50%) izračunava se iz gornjih jednadžbi, sa  $F_c = F_{\text{otp}}$  izražena kao brzina tonjenja:

$$w_g = \frac{v_r r_i g}{v_{ti}} = \frac{V g}{2 \pi h v_{ti}}. \quad (14)$$

Izražena pomoću promjera, veličina je granične čestice  $d_g$ , zbog jedn. (1), proporcionalna drugom korijenu od  $w_g$ :  $w_g = k d_g^{-1/2}$ . Sve čestice koje su veće od  $d_g$  prema idealnim pretpostavkama uklanjale bi se iz plina (tj. za njih bi bio frakcijski stupanj otprašivanja  $\eta_w = 100\%$ ), sve koje su manje, izbjegle bi odvajaju (tj. za njih bi frakcijski stupanj potpunosti odvajanja praha  $\eta_w$  bio jednak nuli). Teorijska krivulja frakcijske dobrote otprašivanja imala bi dakle u dijagramu koji prikazuje zavisnost frakcijske dobrote otprašivanja od veličine čestice [izražene kao omjer  $w/w_g = (d/d_g)^2$ ] oblik crtkane linije u sl. 11. Praktično će krivulja frakcijske dobrote otprašivanja imati oblik izvučene linije, tj. neke će čestice manje od  $d_g$  biti zadržane u ciklonu, a neke veće od  $d_g$  bit će odnesene iz ciklona, zbog toga što nisu ispunjene sve pretpostavke idealnog modela, a naročito, obodna brzina plina i čestica na plohi razdvajanja čestica po veličini nije konstantna. Ako je krivulja frakcijske dobrote otprašivanja određena eksperimentalno ili polueksperimentalno, iz nje se može odrediti  $w_g$  odn.  $d_g$  kao veličina čestice za koju je frakcijski stupanj otprašivanja jednak 0,5, a ukupni se stupanj otprašivanja može iz nje i funkcije raspodjele čestica praha po veličini odrediti kako je prikazano na str. 118.



Sl. 11. Krivulja frakcijske dobrote otprašivanja ciklona

Pri primjeni dimenijske analize, tj. jednadžbe (6), može se zanemariti Schmidtov broj, budući da sile difuzije (Brownovo gibanje) u radu ciklona nema udjela. Jedn. (6) svodi se dakle na jednadžbu:

$$E = K_E \text{Sk}^m \text{Re}^n.$$

Stokesov broj Sk može se transformirati ovako:

$$\text{Sk} = \frac{1}{18} \cdot \left( \frac{d^2 \varrho_e}{l^2 \varrho_p} \right) \cdot \text{Re},$$

što, uvršteno u prethodnu jednadžbu, daje (sa  $K_E' = K_E/18$ ):

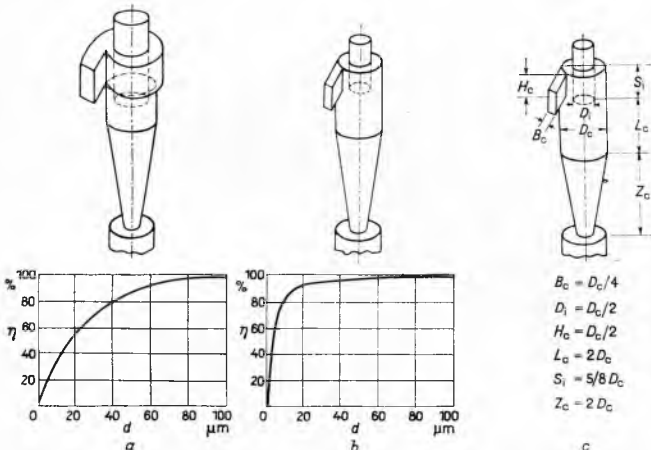
$$E = K_E' \left( \frac{d^2 \rho_c}{l^2 \rho_p} \right)^m \left( \frac{v l}{\eta} \right)^{m+n} \quad (15)$$

Konstantu  $K_E'$  i eksponente  $m$  i  $n$  treba za svaku konstrukciju ciklona posebno odrediti eksperimentalno;  $m$  je uvek pozitivan,  $n$  obično negativan i često po absolutnoj vrijednosti blizak  $m$ , tj.  $Re^{m+n}$  je često blizak jedinici. U takvom slučaju prethodna jednadžba se svodi na ovu:

$$E \approx K_E' \left( \frac{d^2 \rho_c}{l^2 \rho_p} \right)^m, \quad (16)$$

tj. stupanj otprašivanja plina za određeni aparat, plin i prah zavisn je samo od veličine čestica i bit će prikazan krivuljom dobrote otprašivanja analognom izvučenoj krivulji u sl. 11. Ta se krivulja u pogodnoj anamorfozi može prikazati kao pravac (sl. 12). Jednadžbe (15) i (16), odn. grafički prikazi poput sl. 12, mogu se upotrijebiti da se podaci za stupanj otprašivanja dati od proizvođača aparat-a za određeni aparat, prah i plin preračunaju na drugi prah, drugi plin i drugi, ali geometrijski slični, aparat. Spomenute jednadžbe i grafikoni vrijede ne samo za ciklone, nego i za druge inercijske otprašivače.

**Konstrukcija ciklona.** Cikloni se prave u širokom rasponu dimenzija (od desetak centimetara do nekoliko metara promjera) i vrlo različitim izvedbama, prema prirodi i veličini protoka plina, prema vrsti praha i veličini njegovih čestica, prema potrebnom stupnju otprašivanja i raspoloživom padu pritiska. Optimalna konstrukcija u svakom pojedinom slučaju predstavlja kompromis između rješenja koja daju najbolji stupanj odvajanja praha i najmanje investicijske i pogonske troškove (najveći protok plina i

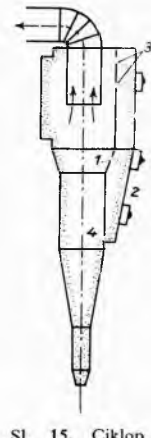


Sl. 13. Izvedbe ciklona. a) Ciklon velikog kapaciteta, b) ciklon visokog stupnja otprašivanja, c) dimenzije standardnog ciklona

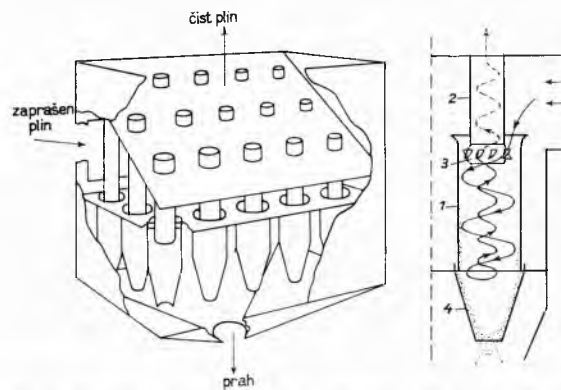
najmanji pad pritiska). Npr. sl. 13 prikazuje ciklone oblike koji je najobičajniji u procesnim i nekim drugim industrijskim područjima; sl. 13c daje standardne odnose dimenzija, sl. 13a i b dva izvedena ciklona s jednakim padom pritiska; jedan, s dimenzijama sličnim standardnim, ima visoki stupanj odvajanja praha (kako pokazuje krivulja frakcijske dobrote otprašivanja ispod slike), a drugi veliki protok uz slabiji stupanj otprašivanja. Da bi se smanjili gubici ulaznog momenta i održao zadani pad pritiska, ciklon sl. 13a ima uvod plina pomoću pužnog difuzora. Sl. 14 prikazuje veliki ciklon za grubo

suhu čišćenje grotlenog plina visoke peći; radi smanjenja pada pritiska dovod je plina izveden u obliku spirale, a skretanje očišćenog plina u centralnu odvodnu cijev olakšavaju provodni limovi. Sl. 15 prikazuje ciklon po van Tongerenu. Taj ciklon ima na gornjem dijelu plašta procjepe 1 i 3 kroz koje centrifugalna sila baca sitnije čestice praha u prašni kanal 2; kroz njega prah pada u donji dio ciklona i procjepom 4 se ubacuje u sabirni konus. Činjenica da je centrifugalna sila, a time i stupanj odvajanja praha, to veća što je promjer ciklona manji, iskorištava se u multiklonima (multiciklonima, sl. 16), u kojima je (radi postizanja potrebnog protoka) paralelno spojen veći broj ciklona malog promjera (15–25 cm). Kad je promjer ciklona tako malen, pri prostom tangencijalnom uvodu plina nastali bi vrlo veliki gubici momenta, stoga se u njima spiralno gibanje plina postiže ugradnjem privodnim uredajem s lopaticama.

U ciklone spadaju i centrifugalni otprašivači u kojima struja plina ne mijenja smjer (sl. 17). Takvi uredaji zauzimaju malo mesta i imaju mali pad pritiska, ali (poput otprašivača sa žalu-



Sl. 15. Ciklon po van Tongerenu



Sl. 16. Multiklon. Lijevo: pogled s djelomično uklonjenim zidovima, desno: presjek kroz jedan od malih ciklona

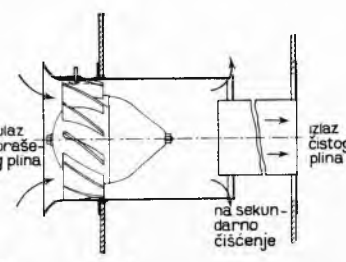
zijama) ne odvajaju prah u potpunosti, nego iz njih izlazi struja plina koja sadrži prah u većoj koncentraciji i koja se vodi u sekundarne otprašivače, redovito obične ciklone.

**Mehanički centrifugalni otprašivači** proizvode centrifugalnu silu za odvajanje praha jednim rotorom s lopaticama. U stvari, to je centrifugalni ventilator koji ima na kućištu otvor za odvodenje jednog dijela plina s prahom što su ga lopatice bacile na zid kućišta. Glavna je prednost takvih uređaja njihova kompaktnost i lakoća kojom se ugrađuju. Stupanj odvajanja praha valja je jednak kao za ciklon s istim padom pritiska, jer ti uređaji razvijaju, istina, veću centrifugalnu silu nego ciklon, ali su putovi odvajanja manji i veća je turbulencija, pa se jedan dio taloženog praha ponovo podiže.

R. Podhorsky

#### Elektrostatički precipitatori (elektrofiltrii)

Elektrofiltrii ili elektrostatički precipitatori su uredaji u kojima se čestice praha ili sitne kapljice uklanjuju iz disperzije u plinu time što se električki nabiju djelovanjem jedne elektrode (ionizacijske) uslijed čega se onda, privučene drugom elektrodom (kolektorskim), na njoj talože.



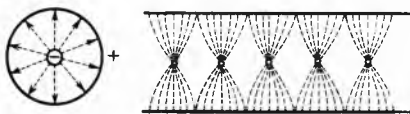
Sl. 17. Ciklon s jednosmjernim strujanjem plina

Talijan Beccaria prvi je (1771) saopćio pojave koje je promatrao pri električnom izbijanju kroz zadimljenu atmosferu. Nijemac Hohlsfeld je 1824 opazio da se dim sadržan u boci izgubi kad se u nju zaroni električki nabita žica, a na boci se stvara naslaga čade. Taj su pokus nezavisno od njega izvršili Francuz Guitard 1850 i Englez Lodge 1880, ali tek su počevši od 1904 te pojave pobliže ispitivali Walker i Lodge u Velikoj Britaniji, Möller u Njemačkoj i Lewis, Davidson, Marscher, Dion, Blake, a naročito Cottrell, Schmidt i dr. u USA. J. F. Cottrell je 1906 konstruirao prve uređaje koji su u praksi dali zadovoljavajuće rezultate. G. 1951 H. J. White je proučavao i detaljnije rasvjetlio električne događaje pri elektrofiltraciji.

Danas se na svijetu nalazi u pogonu vrlo velik broj elektrostatičkih precipitatora. U USA od ukupnog njihova broja otpada na termoelektrane 60%, na industriju čelika 10%, na ostalu metalurušku industriju 7%, na industriju cementa 10% i na kemijsku i druge industrije 6%.

**Teorijski osnovi elektrofiltracije.** Nabijanje čestica praha pri elektrofiltraciji vrši se tako da se plin u kome su one suspendirane prilikom prolaza između obje elektrode umjetno ionizira, pa nastali ioni plina električki nabiju čestice. Za ionizaciju plina upotrebljava se pojавa korone jer je taj postupak ionizacije jednostavan i jeftin.

Korona (v. *Električna izbijanja u plinovima*) predstavlja kombinaciju između tamnog i tinjanjućeg izbijanja. Njezine su manifestacije emisija svjetla u neposrednoj blizini elektrode i siktav zvuk. Pojavljuje se kad gradijenjac je električnog polja oko elektrode ili voda prekorači određenu graničnu vrijednost, a njen stvaranje zavisi od visine napona, od oblika i rastojanja elektroda, od gustoće, vlage, provodljivosti, pritiska i temperature plina. Pojava korone to je jača što je polumjer zakrivljivanja površine izbijanja manji, tj. što su električne silnice zbijenije; stoga se ionizacijskoj elektrodi daje što manji presjek i ona se pravi ponekad od pogodno profilirane žice s oštrim bridovima, npr. višekutnog ili zvjezdolikog presjeka, ili se upotrebljava bodljikava žica. Kolektorska elektroda, budući da je na njoj korona nepoželjna, izraduje se, naprotiv, što veća i u obliku ploče ili cijevi. Da bi se korona pojavila samo na jednoj elektrodi, polje mora biti heterogeno, tj. imati veću jakost u okolini ionizacijske nego u okolini kolektorske elektrode (sl. 18). Korona se može pojaviti na elektrodi priključenoj bilo na pozitivan visoki napon bilo na negativan.



Sl. 18. Električno polje u elektrostatičkom precipitatoru. a) Kolektorska elektroda u obliku cijevi, b) kolektorska elektroda u obliku ploče. Ionizacijska elektroda ima u oba slučaja oblik žice

Negativna je korona stabilnija od pozitivne te napon narinut elektrodi može biti viši kad je ona negativna, ali se onda stvara više ozona i oksida dušika nego kad je pozitivna; stoga se elektrode za ionizaciju u elektrofiltrima redovito priključuju na negativan napon, a na pozitivan samo u filtrima za zrak kad je prisutnost ozona i oksida dušika nepoželjna.

Zbog pojave korone plin koji struji između obje elektrode ionizira se; ioni koji se pri tom stvaraju kreću se pod utjecajem jakog električnog polja prema elektrodama, pozitivni ioni prema negativnoj a negativni prema pozitivnoj elektrodi, i to brzinom od 40...50 m/s. Ioni koji tom brzinom udaraju na ionizacijsku elektrodu izbijaju iz njezine površine elektrone, koji, ubrzani električnim poljem, udaraju u molekule plina i time izazivaju njegovu ionizaciju; ioni plina koji lete prema kolektorskoj elektrodi na svom putu nabijaju čestice praha bilo sudarajući kojima se prenosi električni naboj bilo prijanjanjem iona uz čestice. Ovo potonje prevladava pri nabijanju najsitnijih čestica tzv. ionskom difuzijom. Nabijene čestice putuju prema kolektorskoj elektrodi zajedno s ionima, čije ih strujanje i mehanički povlači sa sobom (električni vjetar).

Najveća moguća količina elektriciteta  $Q$  koja se može skupiti na sitnoj kuglastoj čestici praha prilikom prolaza kroz elektrofilter pod normalnim uslovima, tj. broj na njoj skupljenih elementarnih naboja  $ne$ , iznosi

$$Q = ne = 3 E_{\epsilon} k d^2/4,$$

gdje  $E_{\epsilon}$  znači jakost električnog polja u blizini čestice,  $d$  promjer čestice, a  $k$  faktor manji od 1 koji zavisi od gustoće iona, brzine kretanja iona i vremena za koje je čestica izložena nabijanju. Sila  $F$  kojom takvu česticu privlači kolektorska elektroda iznosi prema tome

$$F = E_k Q = E_k n e = 3 E_k E_{\epsilon} k d^2/4,$$

gdje  $E_k$  znači jakost električnog polja u blizini kolektorske elektrode. Kretanju čestice prema kolektorskoj elektrodi suprotstavlja se optor plina, koji iznosi prema Stokesovom zakonu:

$$F_{\text{opt}} = 3 \pi \eta d w,$$

gdje je  $\eta$  viskozitet plina,  $d$  promjer čestice (kuglaste),  $w$  brzina kretanja čestice. Kad čestica, ubrzavana silom  $F$ , postigne toliku brzinu da otpor zraka postane jednak toj sili (što se zbiva nakon vrlo kratkog vremena), čestica se dalje kreće jednolično brzinom koja se izračunava iz  $F_{\text{opt}} = F$ , tj.  $3 \pi \eta d w = k E_k E_{\epsilon} d^2/4$ . Ta je brzina taloženja prema tome:

$$w = \frac{k E_{\epsilon} E_k d}{4 \pi \eta}. \quad (17)$$

Jakosti polja  $E_k$  i  $E_{\epsilon}$  zavise od narinutog napona i udaljenosti elektroda.  $E_{\epsilon}$  je teško ocijeniti; dovoljno je tačno uzeti da je  $E_{\epsilon} = E_k$ . Stokesov zakon važi samo za čestice veličine iznad 1  $\mu\text{m}$ . Zbog vraćanja taloženih čestica u struju plina, nejednolike raspodjele plina i dr., mjeranjem odredene neto-brzine taloženja čestica obično su znatno manje od teorijskih; kreću se između 1,5 i 30 cm/s. Za čestice manje od 1  $\mu\text{m}$  nađeno je da je brzina taloženja uglavnom nezavisna od veličine čestica. Najmanje čestice obično se nose na taložnu elektrodu djelovanjem električnog vjetra, kojemu je brzina reda veličine 1 cm/s.

**Stupanj otprašivanja u elektrofiltru**, izražen pomoću pokazatelja  $E$  (v. str. 117) jednak je umnošku prosječne brzine taloženja i omjera između efektivne površine  $A$  kolektorske elektrode i protoka plina kroz elektrofilter ( $V$ ):

$$E = -\ln(1-\eta) = w \frac{A}{V} \text{ ili } \eta = 1 - e^{-wAV}, \quad (18)$$

pri čemu  $\eta$  znači stupanj potpunosti odvajanja praha. Budući da je brzina taloženja  $w$  prema jedn. (17) općenito zavisna od veličine čestice, stupanj otprašivanja dobiven prema jedn. (18) predstavlja frakcijski stupanj otprašivanja za čestice određene veličine (v. str. 118). Međutim, pokazalo se da se ta jednadžba — uslijed kompenzirajućeg djelovanja spomenutih utjecaja koji uzrokuju da je praktična brzina taloženja različita od teorijske — može praktički upotrebljavati za izračunavanje ukupnog stupnja otprašivanja ako se za  $w$  uvrsti eksperimentalno određena prosječna brzina taloženja.

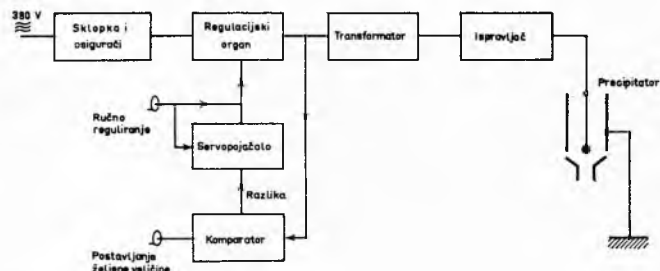
Elektrofiltri se obično projektiraju za određeni stupanj odvajanja praha (obično između 90,0 i 99,0%), pa jedn. (18) služi za dimenzioniranje aparata, tj. određivanje površine taloženja za određeni protok plina.

**Izvedba elektrofiltara.** Elektrofiltarski uređaji za prečišćavanje plinova sastoje se načelno od izvora istosmjerne električne struje visokog napona, ionizacijske čelije i kolektora praha. Prema konstrukciji mogu se takvi uređaji podijeliti na jednostepene i dvostepene uređaje. Kod jednostepenog elektrofiltrata, tzv. Cottrellovog precipitatora, ionizacijska čelija i kolektor praha spojeni su u jednu zajedničku jedinku; kod dvostepenih uređaja plin se ionizira u jednom, a čestice talože u drugom stepenu. Dok se jednostepeni uređaji upotrebljavaju pretežno u industriji, dvostepeni se uređaji primjenjuju uglavnom za čišćenje zraka u prostorijama, i to obično u vezi s klimatizacijskim uređajima. Ponekad, kad se traži velik stepen čistoće plina, primjenjuju se i dva elektrofiltrata u seriji, tj. prečišćeni plin iz prvog uređaja prolazi još i kroz drugi.

Elektrofiltri su najšire primjenjivi aparati za čišćenje plinova. Danas se grade elektrofiltri za protok plina od 1 do 10 000  $\text{m}^3/\text{min}$ , s koncentracijama praha od 0,0002 do 200  $\text{g}/\text{m}^3$ . Prečišćavaju se njima plinovi koji imaju temperaturu do 650 °C i pritisak do 30  $\text{kPa}/\text{cm}^2$ . Čestice veličine od 0,1 do 200  $\mu\text{m}$  odvajaju se stupnjem potpunosti do 99,9%. Pad pritiska kroz aparat je malen: 5...25 mm Hg, za čišćenje 1000  $\text{m}^3$  plina na minuti potrebna je snaga od 1...20 kW.

Jednostepeni elektrofiltri sastoje se od izvora električne struje visokog napona s regulacijom i od precipitatora u kome se vrši i ionizacija plina i kolekcija praha (sl. 19).

Izvor istosmjerne struje visokog napona sastoji se od kutije sa sklopkama i osiguračima, upravljačke kutije za ručno, ili daljinsku, ili automatsko posluživanje, regulacijskog elementa, visokonaponskog transformatora i ispravljača koji izmjeničnu struju dobivenu iz transformatora pretvara u istosmjernu struju visokog napona.



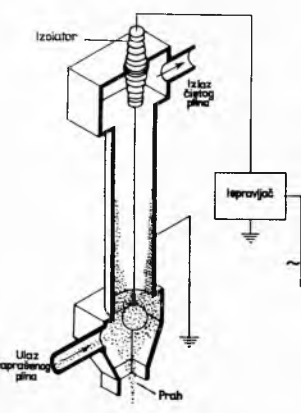
Sl. 19. Shema regulacije napona na ionizacijskoj elektrodi jednostepenog elektrofiltrira

Kao ispravljači za ovu svrhu služe: mehanički ispravljači sa segmentima i četkicama koje okreće sinhroni motor, ispravljači sa elektronikama ili poluprovodnički silicijumski ispravljači (v. *Ispravljanje i pretvaranje električne struje*). Jačina ispravljenih struja je kod ovih uređaja malena: iznosi 250–1000 mA, naponi se kreću od 25 do 125 kV, ali obično iznose 35–45 kV.

Radi postizanja što boljeg pročišćavanja, kod cijevnih i poluprovodničkih ispravljača primjenjuje se često i automatska regulacija procesa. Regulacija struje vrši se s pomoći nekog regulacijskog organa kao što su prigušnice s predmagnetiziranjem ili drugim elektronskim regulatorima, npr. tiratronima. Shemu takva regulacijskog sistema prikazuje slika 19. U takvom uređaju za regulaciju snage upoređuju se mjerjenjem struje i napona stvarno dobivene vrijednosti s unaprijed postavljenim podacima. Ukoliko stvarni podaci odstupaju od postavljenih, javljaju se naponi greške koji se vode u servopojačalo. Ono djeluje na regulacijski organ, koji prema tome smanjuje ili povećava struju. Uvijek je pored automatskog upravljanja predviđeno i ručno, kojim se može premostiti automatski uređaj. Uredaj za automatsku regulaciju snage održava ionizaciju plina u takvim granicama da, uz primjenu najveće snage i pri postizanju najvećeg efekta uređaja, još ne dolazi do preskakivanja iskara između elektroda. Regulacija djeluje dovoljno brzo da sprječi napone koji bi mogli izazvati iskre.

Grade se dvije vrste jednostepenih precipitatora: cijevni i pločasti.

Element cijevnog precipitatora je uzemljena kolektorska elektroda u obliku vertikalne cijevi, u čijoj je osi izolirano razapeta (obično pomoću utega) ionizacijska elektroda u obliku žice ili šipke (sl. 20). Budući da udaljenost između elektroda smije iznositi najviše 10–20 cm pa je time promjer cijevi ograničen, potreban se kapacitet postiže paralelnim spajanjem potrebnog broja cjevastih elemenata, koji su često smješteni u zajedničko kućište. Dužina cijevi iznosi 2–5 m. Radi uštede prostora prave se cijevi ponekad kvadratne.



Sl. 20. Cijevni elektrostatički precipitator



Sl. 21. Grupa cijevnih precipitatora



Sl. 22. Pločasti elektrostatički precipitator

dratnog ili šesterokutnog presjeka (sl. 21). Ionizacijske elektrode pločastih precipitatora jednake su kao u cijevnim ali se nalaze između paralelno smještenih (redovito sa stropa komore obješenih) uzemljjenih pravokutnih kolektorskih elektroda (sl. 22) u obliku ravnih ili valovitih ploča, šipkastih zastora, kutija s rupicama ili prorezima itd. Postoje mnoge izvedbe kojima konstruktori nastoje postići da se prah odredene vrste najbrže i najpotpunije uklopi s kolektorske elektrode. Dimenzije ploča su obično 1–2 × 3–6 m. Veći broj ploča skupljen je obično u grupe sa zajedničkim kućištem. Plin može strujati među pločama u horizontalnom ili u vertikalnom smjeru; danas se grade pretežno elektrofiltrti s horizontalnim strujanjem plina.

Razmak među kolektorskim elektrodama bira se prema koncentraciji praha u plinu, jer manji razmak među kolektorskim elektrodama doduše snižuje potrebiti napon na ionizacijskim elektrodama i smanjuje dimenzije cijelog postrojenja, ali povećava teškoće u pogonu uslijed začepljenja prahom. Ako su koncentracije praha vrlo velike, povoljno je u prednjem dijelu filtra ploče smjestiti na većem razmaku nego na zadnjem.

Za dobar rad elektrofiltrta važno je da se plin među elektrode jednolično raspodijeli. Da se to postigne, plin prije ulaza u filter obično prolazi kroz otvore rupičaste pregrade umetnute u vod.

Cijevni elektrofiltrti upotrebljavaju se većinom za uklanjanje suspendiranih kapljica (magla) iz plina ili čvrstih čestica u malim koncentracijama, kad se skupljeni prah može splaknuti s kolektorske elektrode vodom. U tim slučajevima uklanjanje taloženog materijala ne čini teškoća jer on slobodno otječe s elektrode. Pločasti elektrofiltrti se redovito upotrebljavaju za čišćenje velikih količina plina u kome je suspendiran suhi prah u većim koncentracijama. Da bi se uklonio skupljeni prah s kolektorskih elektroda, one se elektromagnetskim uređajima periodički potresaju. Ponекад se i ionizacijske elektrode moraju potresanjem oslobođati naslagi finih čestica koje bi ometale obrazovanje korone. I kolektorske elektrode cijevnih elektrofiltera, kad skupljaju suhi prah, potresaju se time što se batćima izvana udara po njima.

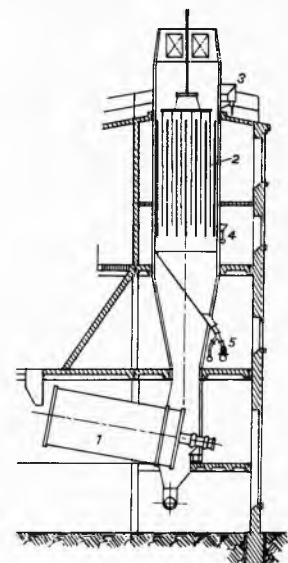
Ako je prah od električki slabu vodljivog materijala, i kroz tanak sloj koji zaostaje na elektrodoma

moe nastati velik pad potencijala, što smanjuje napon među elektrodama a time i brzinu taloženja. U takvim slučajevima može biti potrebno plin vlažiti vodenom parom ili dodavati mu vodljive tvari, da bi se povećala vodljivost skupljenog praha.

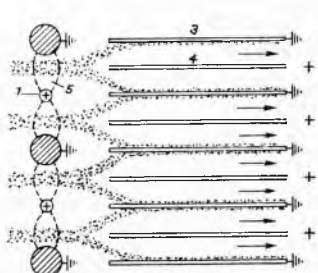
Dva primjera primjene jednostepenih elektrofiltera prikazana su na sl. 23 i 24.

Dvostepeni elektrofiltrti obično se ugrađuju izravno u uređaj

za klimatizaciju zraka. Sl. 25 daje shematski prikaz principa takvog uređaja. U ionizacijskoj komori stvara se između ionizacijskih elektroda visokog napona 1 i uzemljenih protuelektroda elektrostatičko polje 5 kojim mora da prolazi struja zaprašenog plina; čestice praha u njemu se ioniziraju pa se u udvojenoj taložnoj komori



Sl. 23. Jednostepeni elektrofiltrat u dimnjaku sušare mrkog uglja.  
1 Cijevni susionik, 2 elektrofilit,  
3 dovod struje, 4 uređaj za potresanje ploča, 5 izlaz praha



Sl. 24. Pločasti vertikalni elektrofiltrat

Sl. 25. Dvostepeni elektrofiltrat

talože na pločaste uzemljene kolektorske elektrode 3, pod djelovanjem jednoličnog elektrostatičkog polja obrazovanog pomoću isto takvih, ali električki nabitih i od mase izoliranih protuelektroda 4. Prednost je ovakvih filtera pred Cottrellovim što je u odvojenim stepenima potreban manji napon među elektrodama (10...15 kV na ionizacijskim elektrodama, 5...8 kV na protuelektrodama kolektora) i manja snaga, a elektrode mogu biti bliže jedna drugoj. Kolektorske elektrode filtra za čišćenje zraka obično su pokrite slojem u vodi topljivog ulja koji zadržava prah, pa se periodički (u razmacima od 2...6 tjedana) Peru mlazovima vode i ponovo naujje. Ima i kontinuiranih izvedaba s beskrajnim lancem kolektorskih elektroda koje automatski kruže u ciklusu taloženja i čišćenja.

U izvoru struje, koji je u principu jednak odgovarajućim uređajima jednostepenih elektrofiltrata, primjenjuju se samo cijevni i silicijumski ispravljači. Ispravljena se struja još filtrira, a redovito se primjenjuju zaštitni krugovi protiv iskrejanja.

**Materijali za elektrofiltre.** Materijal od kojeg se grade elektrofilteri zavisi od kemijskih i električkih svojstava plina koji se čisti i suspendiranog praha. Gdje god je to moguće, elektrofilteri se grade od mrekog čelika, za korozivne plinove upotrebljavaju se i za ionizacijske i za kolektorske elektrode čelici otporni protiv korozije, legure nikla itd., kolektorske elektrode grade se i od ugljena. Ionizacijske elektrode dvostepenih elektrofiltrata prave se od volframske žice vrlo malog promjera. Za plinove u kojima postoji tendencija preskakivanja iskre kod niskih napona, kolektorska elektroda se zna napraviti npr. od cementa armiranog vodljivim šipkama, a kad se suspendirane kapljice talože u obliku vodljivog filma, kolektorske elektrode mogu imati površine napravljene od izolatora: stakla, keramike, drva itd. Kućišta filtera prave se od čelika, eventualno otpornog prema koroziji ili podstavljenog gumom, plastičnom masom, kiselostalnim kamenjem, ili se grade od opeka, olova, drva itd.

**Primjena elektrofiltrata.** U USA najveći broj elektrofiltrata (više od 600, oko 50% svih instaliranih uređaja) služe za čišćenje dimnih plinova iz kotlovnica s loženjem ugljenim prahom. Za tu svrhu se upotrebljavaju pločasti Cottrellov filtri. U industriji gvožđa i čelika elektrofilteri upotrebljavaju se za fino čišćenje grotlenog plina visokih peći (mahom mokri cijevni) i plinova iz Siemens-Martinovih peći i konvertera (suhi pločasti). U industriji cementa i drugih veziva elektrofiltrima se čiste plinovi iz peći za pečenje; zbog velike vlažnosti tih plinova čišćenje objema vrstama Cottrellovi precipitatora uspješno je i pored slabe električne vodljivosti suspendiranog praha. U koksarama i plinarama iz plina se uklanjuju kapljice ulja i katrana u cijevnim precipitatorima, u rafinerijama nafte rekuperiranju se elektrofiltrima katalizatori katalitičkog krekinga. U tvornicama celuloze po sulfatnom procesu rekuperira se elektrofiltrima natrijum-sulfat iz dimnih plinova od spaljivanja crnog luga. U industriji obojenih metala elektrofiltrima se čiste plinovi i iz njih rekuperiraju metalni oksidi pri proizvodnji glinice, bakra, kositra, olova, cinka, antimona, srebra, zlata itd. U proizvodnji čade (v. str. 5) elektrofilteri u većoj mjeri aglomeriraju čestice, olakšavajući tako kasnije njihovo odvajanje ciklonima i filtrima, nego što služe samome odvajanju. U kemijskoj industriji elektrofiltrima se čiste plinovi od prženja pirita, rekuperiraju se kiseline u njihovoj fabrikaciji (sumporna, fosforna i dr.) i uklanja prah koji nastaje pri drobljenju i sušenju sirovina itd. Osim u dosad navedenim primjenama, koje obuhvaćaju valja i 95% instaliranih uređaja, elektrostatičko uklanjanje praha primjenjuje se i u navedenim industrijama na drugim mjestima, i u drugim industrijama za čišćenje plinova i rekuperaciju materijala.

V. Podlesnik

### Mehanički filteri za plinove

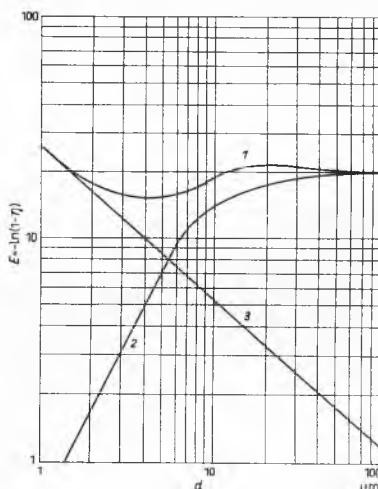
Filtri za plinove su uređaji kojima se plinovi čiste od suspendiranih onečišćenja tako da se tjeraju kroz porozan ili rupičav materijal: tkanine, pust, hasure, žičano tkivo, rupičav lim, slojeve vlaknastog ili zrnatog materijala, porozni papir; taj materijal suspendirane čestice itd. zadržava a čisti plin propušta. Djelovanje filtera nije analogno djelovanju cijedila, tj. oni ne zadržavaju samo čestice veće od otvora ili pora, nego i čestice koje su mnogo manje. Niti i vlakna filtera djeluju u stvari najviše analogno de-

flektorima u udarnim otprašivačima, s time da zbog malog promjera tih »meta« (uporedljivog sa slobodnom dužinom puta čestica) osim sile inercije u zahvaćanju čestica ima znatnu ulogu i njihovo Brownovo gibanje. Osim toga, uslijed malih dimenzija meta, ne može se zanemariti ona količina vrlo sitnih čestica koja se pri skretanju struje plina ne odvaja od nje uslijed inercije pa udara u metu, nego slijedi strujnice plina i izbjegne zahvatu, ukoliko čestice »punim pogotkom« ne udare u metu (»direct interception«). Tek kad se na filtarskoj površini na opisan način obrazova sloj taloga, on djeluje i sam kao filter koji zadržava poput cijedila i neke manje čestice.

Stupanj dobrote filtera može se prema tome u zavisnosti od bezdimenzijskih grupa (v. str. 117) prikazati kao suma članova koji izražavaju stupanj potpunosti odvajanja difuzijom (Brownovim gibanjem) i inercijom, i jednim korekcijskim faktorom koji uzima u obzir »direktne pogotke«:

$$E = \left[ K_d (\text{Sc Re})^y + K_i \left( \frac{\text{Sk}}{\text{Sk} + C} \right)^z \right] \left( 1 - \frac{l}{d} \right).$$

$K_d$  i  $K_i$  su koeficijenti potpunosti difuzijskog odn. inercijskog odvajanja praha,  $y$  i  $C$  su eksponenti odn. konstanta koje treba odrediti eksperimentalno. Korekcijski faktor  $1 - (l/d)$  kazuje da će to više čestica izbjegći direktnom pogotku što je dimenzija mete manja u odnosu na veličinu čestice. Dati oblik jednadžbe važi za sferne filterske elemente sa statistički orientiranim vlaknima. Eksponent  $y$  je uvijek negativan, djelovanje difuzije dakle opada s porastom brzine strujanja i veličine čestice. Inercijsko djelovanje, pak, s porastom brzine strujanja i veličine čestice raste.



Sl. 26. Zavisnost stupnja otprašivanja mehaničkih filtera za prah od veličine čestica

Kako se to ispoljava u zavisnosti faktora dekontaminacije  $E$  od veličine čestica pokazuje dijagram sl. 27 u kojemu je zanemaren korekcijski faktor. U dvostruko logaritmičkom dijagramu opadanje difuzijskog djelovanja prikazano je pravcem koji se spušta slijeva gore nadesno dolje. Djelovanje inercije prikazano je linijom koja počinje kao pravac i onda skreće prema nekoj asimptotskoj vrijednosti. Faktor dekontaminacije  $E$  ispočetka, dok prevladava difuzijsko djelovanje, opada do nekog minimuma u području veličina 0,02...0,2  $\mu\text{m}$ , a onda, kad pretežni utjecaj preuzima inercijsko djelovanje, opet raste i ide prema asimptotskoj vrijednosti, prolazeći eventualno kroz slabu maksimum. Filteri koji se upotrebljavaju u tehniči nikad nisu konstruirani za odavanje čestica svih veličina obuhvaćenih dijagramom sl. 27, nego se za pojedina područja veličine čestica upotrebljavaju grupe aparata u kojima ili prevladava difuzija (čestice 1...3  $\mu\text{m}$ ), ili prevladava inercija (čestice 15...100  $\mu\text{m}$ ), ili djeluju oba mehanizma (srednje veličine čestica).

Pad pritiska kroz filter (otpor filtra protiv strujanja plina) može se smatrati sumom laminarne i turbulentne komponente:

$$\Delta P = K_1 / Re + K_t, \quad (19)$$

gdje su  $K_1$  i  $K_t$  koeficijenti pada pritiska uslijed laminarnog odn.

turbulentnog strujanja. Ti se koeficijenti mogu odrediti iz jednadžbe pravca koji se dobiva kad se kvocijent eksperimentalnih vrijednosti otpora i odgovarajuće brzine plina nanesu u pravokutnom koordinatnom sistemu kao funkcija brzine plina:

$$R/V = a V + b,$$

jer je iz teorijskih razloga  $a = \frac{1}{2} K_t \rho_p$  i  $b = K_t \eta/2 l$ . Sa tako određenim koeficijentima  $K_t$  i  $K_t$  može se s pomoću jedn. (19) izračunati pad pritiska za svaki plin na svakoj temperaturi i pod svakim pritiskom.

Među filtrima za čišćenje plinova odvojen položaj zauzimaju filtri za čišćenje zraka; oni se zbog malih koncentracija i malih dimenzija suspendiranih čestica i zbog svoje specifične namjene (najčešće kao dijelovi sistema za grijanje, ventilaciju i klimatizaciju prostorija) konstruktivno bitno razlikuju od filtera upotrebljavnih za čišćenje plinova u industriji, obrtu itd., koji sadrže u većoj koncentraciji čestice dospjele u njih pri mehaničkim ili kemijskim operacijama. I u ovom članku bit će u nastavku najprije riječ o industrijskim filterima za čišćenje plinova, a onda odvojeno o filterima za čišćenje zraka.

**Industrijski filteri za čišćenje plinova** imaju najčešće kao filtersko sredstvo tkanine ili pust u obliku vreća, cijevi ili uokvirenih ploča (vrećasti filteri, cijevni filteri, pločasti filteri). Filterske tkanine, koje se najviše upotrebljavaju kao filtersko sredstvo, prave se od pamuka, vune, stakla ili sintetičkih materijala kao što su poliamidna, poliesterska i polivinilna vlakna, već prema prirodi i temperaturi plina, krupnoći i koncentraciji praha. Pamuk se može upotrijebiti do temperature  $95^\circ\text{C}$ , staklo do  $290^\circ\text{C}$ , specijalna sintetička vlakna do  $230^\circ\text{C}$ . Gustoća (poroznost) filterskog sredstva karakterizira se njegovom propusnošću za plin, izraženom kao volumen čistog zraka (određenog pritiska i temperature) što ga propušta po jedinici površine uz određeni pad pritiska kroz filterski sloj. Brzina strujanja plina kroz filtersku tkaninu ograničena je na  $\sim 6 \text{ m/sec}$ , jer kod većih brzina strujanja s površina tkanina može otpadati sloj praha koji djeluje kao filter, pa u čisti plin prodiru sitne čestice praha. Veće se brzine strujanja mogu upotrijebiti s filterima od pusta, jer pri filtraciji kroz njih sloj zadržanog praha nema toliku ulogu kao pri filtraciji tkanina.

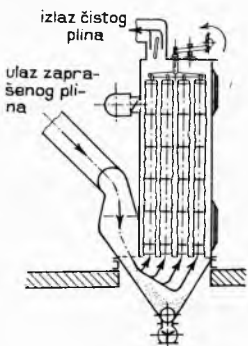
U filterskim elementima uređaja za čišćenje plina filtersko sredstvo obrazuje zidove zatvorenog prostora: vreće, cijevi, komore između uokvirenih ploča i sl. Osim po obliku, filterski se elementi mogu razlikovati po tome da li plin prolazi kroz filtersko sredstvo iz njih izlazi, tj. taloži prah na unutarnjoj strani filterskog materijala, ili u njih ulazi, tj. taloži prah na vanjskoj strani. U prvom slučaju plin pod pritiskom naduvava filtersku površinu i širi prostor elementa, u drugom slučaju filterski materijal ima tendenciju da se uboči prema unutrašnjosti elementa, te se mora redovito poduprijeti iznutra žičanom mrežom ili sl., da se ne bi protok plina smanjio ili prekinuo. Filterski elementi su u uređaju za filtraciju skupljeni u većem broju tako da se u jedinici zapremine uređaja ili tlocrtnog prostora smjesti što veća filterska površina. Elementi prve od gore spomenutih vrsta spojeni su pri tom svojom

otvorenom stranom na zajednički dovod zaprašenog plina; plin prolazi očišćen kroz porozne zidove elementa u zajedničku prostoriju u kojoj su elementi smješteni i iz nje se odvodi. Elementi druge vrste spojeni su svojim otvorima na zajednički odvod očišćenog plina a zapršeni plin prodire kroz njihovu vanjsku površinu u unutrašnjost iz zajedničke prostorije u kojoj se elementi nalaze. Prah se s (vanjske ili unutrašnje) filterske površine zbacuje u zajednički zbirnik, i to na jedan od tri načina, ili kombinacijama ovih triju načina: a) potresanjem filterskih elemenata, b) obrtanjem smjera plinske struje i c) razmlojavljnjem filterskog elementa. Način zbacivanja zavis u glavnom od prirode filterskog sredstva; krt materijal, npr. staklena vlakna, ne podnosi mehaničko potre-

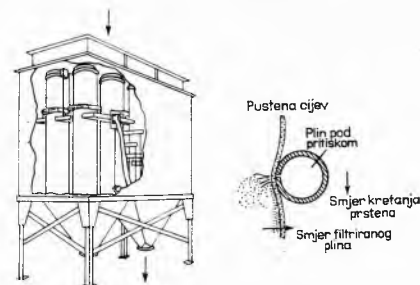
sanje; kad se prah taloži u unutrašnjosti filterskog materijala, npr. pusta, on se mora izbacivati obrnutom strujom plina, itd. Sl. 27 prikazuje, radi fiksiranja predodžaba, jedan konkretni slučaj u kojem su upotrebljena sva tri načina zbacivanja praha s filtera. Filterski elementi s kojih se zbacuje prah redovito se isključuju iz pogona filtriranja i odvajaju od struje zaprašenog plina. Budući da se u velikom postrojenju za filtraciju plina u svakom trenutku samo s jednog dijela ukupnog broja filterskih elemenata zbacuje prah, a ostali filtriraju, pogon je u cjelini kvazikontinuiran. Rijetko se čišćenje filterske površine obavlja dok je filterski element u pogonu, jer je u tom slučaju teško sprječiti ponovno onečišćenje plina zbačenim prahom.

Sl. 28 prikazuje jednu sekciju mehaničkog cijevnog filtra za plin. Filterski elementi su mu cijevi, redovito od pamučne tkanine (ili sintetskog vlakna ako to iziskuje povišena temperatura) ovalnog ili kružnog preseka, promjera  $10\cdots 20 \text{ cm}$ , duljine  $2,5\cdots 5 \text{ m}$ , dolje otvorene i spojene sa zajedničkim dovodom zaprašenog plina (odn. zbirnikom praha), gore zatvorene i obješene tako da se mogu povremeno potresati. Više ovakvih sekacija, svaka s većim brojem elemenata spojenih u redovima ( $100\cdots 200 \text{ m}^2$  filterske površine), spoje se u zajedničkoj zgradbi tako da se svaka sekcija može, kad na nju dođe red (svakih 5 minuta do 8 sati), isključiti iz struje plina i potresati radi skupljanja praha. Imo uređaja u kojima je odvajanje pojedinih sekacija i periodično potresanje automatizirano.

Sl. 29 prikazuje filtersko postrojenje s cijevima od pusta i uređajem za kontinuirano zbacivanje praha pomoću struje komprimiranog zraka tjeranog u suprotnom smjeru filtriranog plina kroz rupice prstena koji obuhvaća cijev i stalno putuje uzduž nje gore-dolje. Bez pokretnih mehaničkih dijelova radi filter u kojem



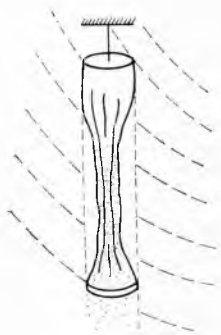
Sl. 28. Mehanički filter s platnenim cijevima i zbacivanjem praha potresanjem



Sl. 29. Mehanički filter s pustenim cijevima i zbacivanjem praha strujom plina u suprotnom smjeru. Desno detalj produhanja zraka

se prah s vanjske strane filterskih cijevi (iznutra poduprtih žičanim mrežom) zbacuje povremenim impulsima komprimiranog zraka dovedenog u sapnicu nad cijevima. Impulsi komprimiranog zraka naglo izbočuju zidove cijevi prema vani i injektorskim djelovanjem potjeraju struju očišćenog plina u suprotnom smjeru kroz njih; posljedica tih dvaju djelovanja jest da sloj praha otpadne s vanjske površine cijevi u zbirnik, odakle se iznosi.

**Filtri za zrak.** U industrijskim filterima čiste se plinovi koji sadrže obično do  $50 \text{ g/m}^3$  praha, ali ponekad i do više stotina grama na kubni metar; često je taj prah dragocjen i treba ga rekuperirati. U filterima za zrak čisti se plin koji sadrži praha manje od  $10 \text{ mg/m}^3$ , često ispod  $1 \text{ mg/m}^3$ , na temperaturi ispod  $60^\circ\text{C}$  i prah uklonjen iz zraka nije gotovo nikad potrebno izolirati. Filteri koji su pogodni za uklanjanje praha (dim, mikroorganizma itd.) iz zraka mogu se podijeliti na suhe i mokre, na filtre kojima se filtersko sredstvo čisti pa ponovo upotrebljava i filtre kojima se filtersko sredstvo zasićeno prahom bacu i zamjenjuje novim, a filtri koji se čiste od praha mogu se čistiti ručno odn. ručnim upravljanjem ili automatski. Osim toga se filteri mogu podijeliti prema veličini čestica koje mogu uklanjati: u »grube« filtere za grublji prah ( $> 10$

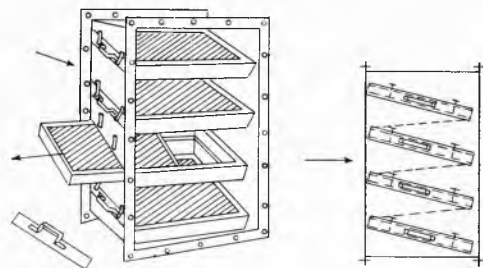


Sl. 27. Zbacivanje praha s platnenog filtra od osjetljivog materijala: labavljivanje filtra, strujom plina u suprotnom smjeru i potresanjem zvučnim valovima

# ČIŠĆENJE PLINOVA

µm), »fine« za fini prah ( $1\cdots10 \mu\text{m}$ ) i »najfiniji« ili bakterijske filtre za najfiniji prah ( $< 1 \mu\text{m}$ ).

Sl. 30 prikazuje sekciju filtra za zrak s elementima koji se ručno izmjenjuju. Elementi se sastoje od pojedinih čelija koje u metalnom okviru sadrže ploču filterskog sredstva. U mokrim filtrima



Sl. 30. Filter za zrak s ručnim izmjenjivanjem okvira

to je metalna mreža, profilirani ili rupičasti lim, metalna vuna, metalne strugotine, životinjske dlake, staklena vlakna, drvene strugotine itd. prevućeni slojem viskoznog mineralnog ulja; u suhim filtrima to je runo od dugih elastičnih vlakanaca, npr. sitno nabrana staklena vlakna, sintetička vlakna ili prirodna tekstilna vlakna, i to na strani zaprašenog plina grublja, na strani čišćenog plina finija. Kad je filtersko sredstvo jeftino, zaprašeni materijal baca se i zamjenjuje novim, inače se s mokrih ploča splakne ulje i zamjeni novim, a suhe se ploče čiste istresanjem, četkanjem ili pranjem; očišćeni filterski elementi se pri narednoj zamjeni ploča opet umeću u filter. Pranje mokrih ploča automatizirano je u aparatu prema sl. 31. Suhu filtri izvode se i s filterskim elementom u obliku trake poroznog vlaknastog materijala koje se gore s kotura odmotava, prolazi poprečno kroz struju plina i dolje se namotava. Traka se pomiče povremeno ručno ili automatski. Zaprašena traka se čisti ili baca. Mokri filtri upotrebljavaju se najviše kao grubi, suhi kao grubi i fini (s grubljim ili finijim filterskim materijalom). Kao najfiniji ili bakterijski filtri upotrebljavaju se suhi filtri s papirom ili presovanim najfinijim sintetičkim, staklenim, azbestnim i dr. vlakancima kao filterskim materijalom. Da bi se povećala efektivna filterska površina, taj se materijal umeće u filterske elemente u naborima.

Sl. 31. Filter za zrak s mehaničkim pranjem filterskih okvira

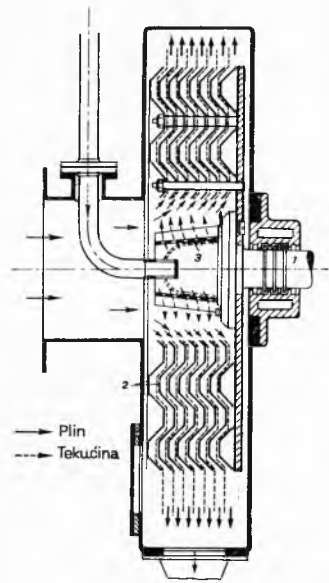
Filtri po djelovanju analogni upravo spomenutima, ali drugih, pogodnih oblika, smještaju se na ulazu zraka u motor i kompresore, također u cijevne vodove radi uklanjanja praha, kapljica ulja itd. iz plinova.

## Skruberi

Skruberi su otprašivači u kojima se čestice praha uklanjuju iz plina time što djelovanjem inercijskih sila, difuzije ili punih pogodaka udaraju na površinu tekućine i na njoj se zadržavaju. Pri tom tekućina može imati neprekidan površinu (npr. sloja koji teče niz čvrsti zid) i djelovati jednako kao deflektori u suhim inercijskim otprašivačima, tj. izravno primati i uklanjati prah, ili se prah hvata na kapljice raspršene tekućine i s njima tvori disperziju sa česticama koje su veće i teže od čestica praha te se stoga sekundarno lakše odvajaju gravitacijom ili kojim drugim od naprijed opisanih načina.

U skruberima se struja zaprašenog plina dovodi u što prisniji doticaj s površinama i kapljicama tekućine. Njihova je funkcija dakle ista kao aparata za apsorpciju plinova, pa su mnogi skruberi njima analogno građeni, štavise: isti se aparati često upotrebljavaju i za čišćenje plinova i za apsorpciju. Tako se za čišćenje plinova kao skruberi upotrebljavaju prazni tornjevi u kojima voda odozgo pada ususret uzlaznoj struci plina, kolone punjene prokaptim tijelima ili drvenim rešetkama, kolone sa sapnicama za rasprši-

vanje tekućine, praonici tipa Ströderova u kojima se tekućina raspršava centrifugalnom silom (v. *Apsorpcija plinova*, TE 1, str. 329). U nekim aparatima plin se u jakom mlazu upravlja na površinu tekućine tako da čestice inercijom prodrnu u nju; pri tom se često stvara nad slobodnom površinom tekućine i zastor sitnih kapljica na koje prianjaju najfinije čestice praha. Ponekad se plin i provodi kroz tekućinu, pa se upotrebljavaju analogni aparati kao za apsorpciju plina iz unutarnje faze (v. TE 1, str. 328). U skrubere mogu se računati također udarni otprašivači u kojima se udarne površine kvase tekućinom i mehanički otprašivači u koje se osim plina uvodi i tekućina koja okvasi sve unutarnje površine i s njih splakuje prah. Dezintegratorima nazivaju se aparati u kojima se elementima koji se brzo okreću voda razdjeljuje, miješa s plinom i u tankim mlazovima centrifugalnom silom bacu na niz pregrada na kojima se zadržava prah. Takvi aparati, npr. Theisenov dezintegrator (sl. 32), služe za fino moko čišćenje grotlenog plina visokih peći. Najsitnije čestice mogu se s visokim stupnjem potpunosti ukloniti iz plina tzv. visokoenergijskim skruberima (sl. 33). Oni imaju suženje poput Venturijeve cijevi (nazivaju se stoga i Venturi-skruberi); na najužem mjestu se uprskava voda pod pritiskom ( $0,3\cdots3,5 \text{ at}$  nat-



Sl. 32. Theisenov dezintegrator. 1 Vratilo, 2 udarni limovi, 3 razdjeljivač

tiska), koju plin raspršuje na vanredno sitne kapljice. Pad pritiska plina u skuberu visok je,  $20\cdots500 \text{ cm H}_2\text{O}$ , a tako i potrošak vode; stupanj dobrote otprašivanja proporcionalan je utrošku energije i može i za submikronske čestice biti jednak kao stupanj dobrote elektrofiltrata. Veće pogonske troškove u poređenju s pogonskim troškovima elektrofiltrata kompenziraju manji troškovi investicije. Visokoenergijski skruberi su u posljednje vrijeme u znatnoj mjeri zamjenili elektrofiltre pri finom čišćenju grotlenog plina visokih peći.

Svaki aparat za moko čišćenje plina raspršenom tekućinom osim dijela u kojemu se plin kontaktira s tekućinom ima dio u kojemu se kapljice tekućine koje sadrže prah odvajaju od plina. To mogu biti odvojeno postavljeni cikloni, elektrofiltri, udarni odjeljivači, itd., a mogu biti i uređaji spojeni sa samim skruberom u jedan aparat. Pri čišćenju vrućih vlažnih plinova ispred samog skrubera ima komora u kojoj se plin ohlađuje do ispod rošta, tako da se voda kondenzira u kapljicama na česticama praha i time pridonosi njihovom uklanjanju iz plina. Primjena je skrubera u izvjesnoj mjeri ograničena teškoćama što ih pravi uklanjanje prahom zamuljene vode. To vrijedi naročito za visokoenergijske skrubere s njihovim velikim potroškom vode.

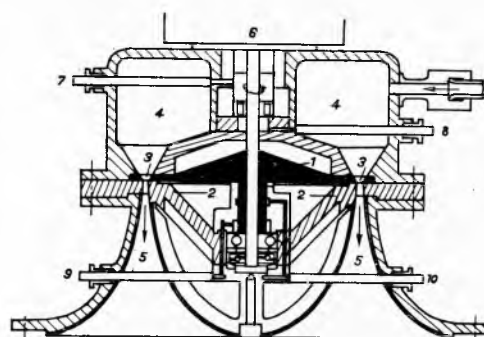
## Ultrazvučni i termički precipitatori

Zvučne vibracije velikog intenziteta izazivaju u dimovima i maglama sudare čestice i time njihovu flokulaciju, spajanje u veće čestice, koje se onda mogu nekim od drugih načina čišćenja plinova lakše odvojiti od plina. Ultrazvuk se proizvodi visokofrekvencij-



Sl. 33. Visokoenergijski Venturi-skruber

skim sirenama, koje se pogone elektromotorom ili turbinom na komprimirani zrak. Sl. 34 prikazuje polushematski siren u elektromotornim pogonom. U komore 4 dovodi se zrak iz kompresora



Sl. 34. Ultrazvučna srena. 1 Rotor, 2 stator, 3 zvučni površi, 4 komora s komprimiranim zrakom, 5 zvučne trube, 6 motor, 7, 8 i 9, 10 podmazivanje

(5...10 KS); elektromotoru (1,5 KS) se broj okretaja (max. 12 500 min<sup>-1</sup>) može regulirati, tako da se frekvencija ultrazvuka može podesiti između 0,5 i 22 kHz. Snaga zvuka je 250...300 W. Veće sirene, pogonjene turbinom, mogu proizvesti snage i preko 10 kW, intenziteta do 10 W/cm<sup>2</sup>, frekvencije koja se može regulirati između 1 do 200 kHz. Manjom od gore navedenih sirena može se očistiti 2000...3000 m<sup>3</sup>/h plina, većima i do 40 000 m<sup>3</sup>/h.

Osim sirenama, ultrazvuk se može proizvesti i na druge načine. Npr., intenzivni zvučni valovi nastaju u električnim iskrištim i u električnom luku proizvedenome istosmjernom, a moduliranoj izmjeničnom strujom.

Kao primjer primjene ultrazvuka prikazan je u sl. 35 zvučni toranj za uklanjanje magle sumporne kiseline iz plina.

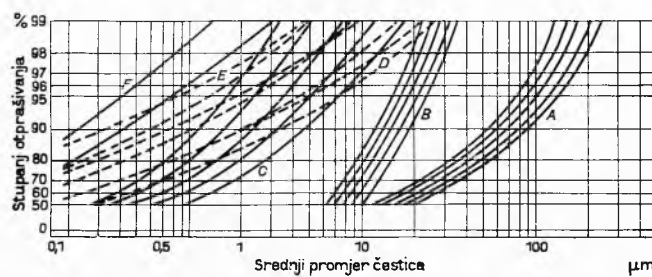
Sl. 35. Ultrazvučni toranj za uklanjanje kapljica sumporne kiseline iz plina. 1 Uzal plina, 2 toranj, 3 srena, 4 ciklon, 5 i 6 odvod kiseline, 7 kompresor za pogon siren

Ako se zaprašen plin vodi malom brzinom preko zagrijane metalne mreže ili kroz nju, sudari molekula plina s česticama praha djeluju tako da se čestice praha odbijaju od grijane površine. Na osnovu te pojave može se plin očistiti od praha. U industrijskom mjerilu taj način čišćenja praha nije se uveo, ali se upotrebljava za uzimanje uzorka praha iz zaprašenog plina.

#### Izbor aparata za čišćenje plina

Aparat za uklanjanje praha ili kapljica tekućine iz nekog plina bira se u prvom redu prema zaprašenosti plina, prema srednjoj veličini čestica i njihovoj raspodjeli po veličini, i prema zahtijevanom stupnju otprašivanja, ali pored toga treba često uzeti u obzir i niz drugih, tehničkih i ekonomskih, okolnosti.

Kako se vidi iz sl. 1, područja upotrebljivosti različitih aparata za odvajanje čestica određene veličine čestica po pravilu se preklapaju. Sl. 36 prikazuje grafikon (prema Sylvanu) iz kojeg se može očitati koliki se stepen otprašivanja može očekivati pri primjeni



Sl. 36. Zavisnost stupnja otprašivanja glavnih aparata za čišćenje plina od veličine čestica praha. A cikloni malog otpora, B cikloni visokog stupnja otprašivanja, C skruberi, D filtri (čišćenje potresanjem i obratnom strujom), E elektrofilteri, F filtri (čišćenje labavljnjem)

nekih važnih aparata na čišćenje plina od praha određene srednje veličine čestice. Na koji način se takav grafikon, zajedno s podacima o zaprašenju plina i raspodjeli čestica praha po veličini, može upotrijebiti za izbor pogodnog aparata, prikazat će se na primjeru.

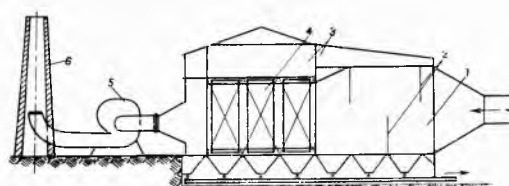
Kako da se očisti plin koji izlazi iz peći-vapnenice? Takav plin može sadržati  $10 \dots 25 \text{ g/m}^3$  (tablica 1) praha sa težinskim srednjim promjerom  $2 \dots 14 \mu\text{m}$ . U nedostatu podataka pretpostavimo da sadrži  $17,5 \text{ g/m}^3$  praha srednjeg promjera  $9 \mu\text{m}$ . Iz sl. 37 može se procitati da bi ciklon s malim padom pritiska odvojio praha po veličini manje nego 50%, ciklon velikog stupnja dobrote otprašivanja, 60...80%, a skruber mehanički filter i elektrofilteri više od 97%. Zaprašenost plina je ponešto velika za to da otprašivače najvećeg stupnja dobrote, stoga odlučujuće je da ćemo plin u jednom ciklonu visokog stupnja dobrote najprije podvrgnuti pretčišćenju. Pretpostavivši srednji ukupni stupanj otprašivanja 70%, izračunava se da će pretčišćeni plin sadržati  $17,5 \cdot 0,30 = 5,25 \text{ g/m}^3$  praha. Da bi se našla srednja veličina čestice tog plina, potrebno je poznavati raspodjelu čestica po veličini u prvočitom zaprašenom plinu. U nedostatu podataka o tome, može se pretpostaviti da je kolektiv čestica normalno raspodijeljen i da mu je mjeru rasipanja promjera čestica oko srednje vrijednosti (standardna devijacija) sredina između najveće i najmanje koje se obično nalaze u takvih prahova. S tim pretpostavljenim podacima može se na vjerojatnosnom papiru nacrati pravac koji prikazuje karakteristiku praha: on prolazi kroz tačku s apscisom  $d = 9,0 \mu\text{m}$  i ordinatom  $\eta = 50\%$ , a s nagibom koji odgovara pretpostavljenoj standardnoj devijaciji. Pretpostavljajući radi jednostavnosti da će ciklon visokog stupnja dobrote otprašivanja oštro razdvajati prah u dvije frakcije s česticama većim i manjim od graničnih, nalazi se veličina granične čestice, kao apscisa tačke na karakteristici koja ima ordinatu 30%. U našem slučaju dobili bismo tako, recimo, da je  $d_g = 6,0 \mu\text{m}$ . Dijagram sl. 37 pokazuje da i kad bi sve čestice zaostale u plinu imale tu veličinu, ni najbolji ciklon ne bi mogao odvojiti 50% praha zaostalog nakon pretčišćenja, dok bi se skruberom, elektrofiltrom ili mehaničkim filterom moglo odvojiti bar 93%. Izabere li se dobar skruber, može se očekivati stepen otprašivanja od 98%. Istim postupkom kao za čišćenje s pomoću ciklona može se približno odrediti koliko će praha i koje veličine čestice konačno ostati u očišćenom plinu. Ako postoje tačniji podaci o karakteristikama praha i aparature, mogu i računi u vezi s izborom aparata prema stupnju otprašivanja biti tačniji.

U mnogim slučajevima sam postizivi stupanj otprašivanja ni izdaleka ne dostaje za određivanje najpogodnijeg aparata. Stavište, izbor je aparata često određen tako malo samim zadatkom operacije, tj. traženjem stupnja otprašivanja, a toliko drugim okolnostima, da je moglo biti rečeno kako je izbor aparata za otprašivanje u većoj mjeri umijeće nego nauka. Plin može biti vruć, korozivan, eksplozivan, suh ili vlažan, sadržati sastojke koji u povoljnem ili nepovoljnem smislu utječu na rad elektrofiltra; čestice mogu biti tvrdi ili abrazivne, teško se kvasiti tekućinom, biti električki vodljive ili nevodljive; volumen i zaprašenost plina mogu biti veliki ili mali, dopustive dimenzije aparata mogu biti ograničene raspoloživim prostorom, — i tako dalje. Ne manje važni su ekonomski momenti: jedni su aparati skupi u nabavci a jeftini u pogonu (npr. elektrofilteri), drugi iziskuju male troškove investicije ali trebaju mnogo snage za pogon (npr. skruberi), jedni zahtijevaju više, drugi manje materijalnih troškova i radne snage za održavanje, itd.

Tehnologija čišćenja plinova danas je toliko napredna da za svaki problem pruža tehnički povoljno rješenje, ali zbog mnoštva okolnosti koje pri izboru tehnički i ekonomski najpogodnijeg aparata treba uzeti u obzir, pronalaženje tog rješenja nije uvek lagan zadatak. A ima i nemalo slučajeva da, i pored postojanja tehničkog rješenja, potpuno zadovoljavajući ekonomski podnošljiv način čišćenja plina nije moguće naći.

#### Postrojenja za čišćenje plinova

Kad u proizvodnji nastaju velike količine zaprašenog plina koji treba otprašiti, aparati koji se za tu svrhu upotrebljavaju, zajedno s ventilatorima koji zaprašeni plin odsisavaju s mjesta gdje nastaje,

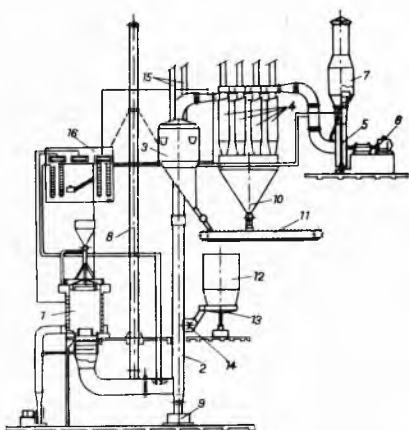


Sl. 38. Dvostepeno postrojenje za čišćenje plina s prašnom komorom i elektrofiltrom. 1 Prašna komora, 2 deflektor u prašnoj komori, 3 radni prostor nad aparaturom, 4 elektrofilter, 5 ventilator, 6 dimnjak

tvore odvojena postrojenja koja ponekad zauzimaju više prostora nego postrojenja u kojima se prah stvara. U tim se postrojenjima plin čisti u aparatima jedne vrste ili više njih, u jednom, dva ili tri stepena, u zavisnosti od koncentracije praha u plinu, od veličine i granulometrijskog sastava njegovih čestica, od vrijednosti praha i od tražene čistoće plina. Na sl. 23 bio je prikazan uređaj za jedno-

## ČIŠĆENJE PLINOVA — ČVRSTO STANJE

stepeno uklanjanje praha ugrađen u dimnjaku sušnice, sl. 38 prikazuje shematski postrojenje za dvostepeno otprašivanje u prašnoj komori i elektrofiltru, sl. 39 trostupeno uklanjanje praha u okviru



Sl. 40. Trostupeno postrojenje za čišćenje plina s ciklonom, multi-ciklonom i skruberom. 1 Ložište koje proizvodi plin za pneumatsko sušenje, 2 cijev za pneumatsko sušenje, 3 ciklon, 4 multi-ciklon, 5 ventilator za otprašeni plin, 6 elektromotor, 7 skruber, 8 dimnjak ložišta (uključen pri stavljanju u pogon), 9 hidraulički zapor cijevi za sušenje, 10 bunker za prah, 11 transporter za suhi prah, 12 bunker za vlažni prah, 13 tanjurni dodjeljivač, 14 ubacivač, 15 sigurnosni ventili, 16 kontrolna ploča postrojenja

postrojenja za pneumatsko sušenje. Velika postrojenja za višestepeno čišćenje plinova jesu npr. postrojenja za čišćenje grotlenog plina visokih peći, generatorskog plina u mnogim industrijskim, rudničkom zraku, zraku iz fabrika za mehaničko oplemenjivanje ruda, dimnih plinova mnogih industrija.

U postrojenja za otprašivanje, u širem smislu, spadaju i uređaji za hvatanje praha koji nastaje u nekim strojevima i uredajima (transporterima, drobilicama i mlinovima, miješalicama, sitima i rešetima, bunkerima, separatorima, pećima, itd.) i onečišćuje zrak u okolini tih uredaja. O tome, kao i o proračunu sistema za industrijsku ventilaciju, v. *Ventilacija*.

R. Podhorsky

LIT.: C. Loeser, Abgase, Technik ihrer Entrüfung, Entstaubung und Entgiftung, Berlin 1940. — L. Berkmann, Der Ultraschall, Stuttgart 1949. — L. Dietrich, P. Achenbach, F. Schytz, Gasreinigung, Abscheidung fester und flüssiger Schwebestoffe, u djelu: Ullmanns Encyclopädie der technischen Chemie, Bd. I, München-Berlin 1951. — B. L. Ромадин, Пылеприготовление. Москва 1953. — P. Drinker, T. Hatch, Industrial dust, New York 1954. — T. F. Huetter, R. H. Bolt, Sonics, New York 1955. — P. L. Magill, F. R. Holden, C. Ackley, Air pollution handbook, New York 1956. — H. L. Green, W. R. Lane, Particulate clouds; dusts, smokes and mists, London-Princeton 1957. — R. Meldau, Handbuch der Staubtechnik, 2 Bde, Düsseldorf 1956/58. Г. М. Городов, И. А. Пейсахов, Пылеулавливание и очистка газов, Москва 1958. — M. Delta Valle, Fine particle measurement, New York 1959. — W. L. Faith, Air pollution control, New York 1959. — Г. Залогин, С. М. Шухер, Очистка дымовых газов, Москва 1959. — H. R. Shepherd, Aerosols, New York 1960. — G. Herdan, Small particle statistics, Amsterdam 1962. — G. H. Strom, A. C. Stern, Air pollution, vol. I, New York 1962. — R. L. Lucas, Gas-solids separation, u djelu: J. H. Perry, Chemical engineers' handbook, New York 1963. — H. J. White, Industrial electrostatic precipitation, Reading, Mass., 1963. — К. Г. Руденко, А. В. Калмыков, Обеспыливание и пылеулавливание при обработке полезных ископаемых, Москва 1963. — N. Davies, Recent advances in aerosol research, New York 1964. — N. A. Fuchs, The mechanics of aerosols, Oxford 1964. — L. M. Roberts, A. B. Walker, Electrostatic precipitation, u djelu: Kirk-Othmer, Encyclopedia of chemical technology, vol. 4, New York 1965. — K. T. Whitby, B. Y. H. Liu, Dust (Engineering), u istom djelu vol. 7, 1965. — W. Strauss, Industrial gas cleaning, Oxford 1966. — S. Sylvan, R. Logsdon, Gas cleaning, u istom djelu, vol. 10, 1966. — К. Г. Руденко, М. М. Шемаханов, Обезпыливание и пылеулавливание на обогатительных фабриках, Москва 1967.

V. Podlesnik R. Podhorsky

**ČVRSTO STANJE**, agregatno stanje tvari u kojem tijela imaju stabilan oblik (u normalnim uslovima) jer atomi u njima ostvaruju termičko gibanje titranjem oko prostorno fiksiranih ravnotežnih položaja. Sve tvari u određenim uslovima (na određenoj temperaturi i pod određenim pritiskom) prelaze u čvrsto stanje. To se događa u trenutku kad je termička energija atoma i molekula dovoljno niska i udaljenosti medu atomima dovoljno male da interakcije atoma mogu osigurati odredene položaje jednih prema drugima u prostoru. Pod normalnim pritiskom, ohladivanjem jedino helijum ne prelazi u čvrsto stanje sve do apsolutne nule temperature; za kristalizaciju helijuma na temperaturi  $1,5^{\circ}\text{K}$  potreban je pritisak od 25 atmosfera. Stabilnost oblike tijela u čvrstom stanju ispoljava se u tome što se tijelo protivi vanjskim silama usmjerenim na mijenjanje oblika.

Pojam agregatnog stanja tvari nije precizno definiran. Tekuće i čvrsto stanje razlikuju se od plinovitog po tome što tvari u tim stanjima imaju formirane površine i ograničavaju se na vlastite volumene, bez obzira na volumen posuda u kojima se nalaze; čvrsto stanje razlikuje se od tekućeg po tome što oblik površine čvrstih tijela nije podložan utjecaju gravitacije i ne oblikuje se po obliku posude kao u slučaju tekućine, a to odgovara prostorno fiksiranim položajima atoma u čvrstom stanju. Ova stanja podjela na plinovito, tekući i čvrsto stanje učinjena je u prvom redu sa ciljem da se tvari razvrstaju u klase s jednakim fizičkim svojstvima. Pokazalo se, međutim, da prelaze medu ovako definiranim agregatnim stanjima ne prate nužno promjene fizičkih svojstava. S diskontinuitetima fizičkih svojstava počeo se povezivati pojam faznih prelaza, gdje se pod fazom razumijeva svaki homogeni, fizički različit (tj. koji ima definirane granice) dio nekog sistema. Pod utjecajem rezultata hidrodinamike i aerodinamike, koji su pokazali da se mehanička svojstva tekućina i plinova mogu formalno opisivati istimi jednadžbama, dugo vremena prevladavalo je uverenje da je tekuće agregatno stanje bliže plinovitom nego čvrstom. Ispitivanja čitavog niza fizičkih svojstava pokazala su, međutim, da između čvrstih tijela i tekućina ne postoje razlike ni oštре granice. S jedne strane, čvrsta tijela pod visokim pritiskima i velikim naprezanjima pokazuju efekt tečenja poput tekućina; s druge strane, tekućine prilikom titranja na visokim frekvencijama podliježu elastičnim deformacijama poput tipičnih čvrstih tijela. Kod stakala se pri postepenom povišenju temperature može pratiti kontinuirani prelaz od mehaničkih svojstava tipičnog čvrstog tijela do mehaničkih svojstava tekućine. Prilikom taljenja čvrstih tijela povećavaju svoj volumen za ne više od 10%, a latentna toplina taljenja mnogo je manja od latentne topline isparavanja, što govori o tome da isparavanje predstavlja dublju promjenu u odnosu medu česticama nego taljenje i da u čvrstim tijelima i tekućinama djeluju slične kohezijske sile. Zbog sličnosti mnogih njihovih svojstava, tekuće i čvrsto agregatno stanje često se promatraju zajedno pod nazivom *kondenzirano stanje* nasuprot plinovitom. U kondenziranoj stanji razmaci medu susjednim atomima su veličine nekoliko desetinika nanometra, tj. tekućine i čvrsta tijela sadrže  $10^{24} \dots 10^{25}$  atoma u kubnom centimetru. Plin na sobnoj temperaturi i pod pritiskom od jedne atmosfere ima gustoću  $\sim 2 \cdot 10^{-10}$  molekula u kubnom centimetru, a to znači da je sredina udaljenost između molekula u tom plinu približno 3 nm. Mnogo bitnije nego razlikovanje agregatnih stanja pokazuje se da je razlikovanje sredenih i nesredenih struktura.

**Sredene i nesredene strukture.** S obzirom na prostorni raspored ravnotežnih položaja atoma, čvrsto stanje može biti sredeno (kristalizirano) i nesredeno (amorfno). U kristalima su atomi i na velikim udaljenostima raspoređeni u pravilnu trodimenijsku strukturu koja se može shvatiti kao periodsko ponavljanje jednog istog struktturnog motiva (*daleki poredak*). U amorfnim tijelima postoji sredenost atoma do na udaljenosti reda veličine srednjih međuatomskih razmaka (*bliski poredak*), a sa stanovišta velikih atomskih razmaka atomi su haotički raspoređeni. Sistem atoma ima najnižu energiju kad su atomi pravilno raspoređeni u kristalnoj rešetki, pa se s termodinamičkog stanovišta amorfno tijelo uvijek nalazi u nekom neravnotežnom, metastabilnom stanju i treba da s vremenom kristalizira. U običnim uslovima vrijeme prelaska u stabilno stanje može biti tako veliko da se neravnotežni karakter amorfognog tijela praktički ne ispoljava.

U plinovitom stanju vjerojatnost da će se neka čestica naći u nekoj tački prostora ne zavisi od položaja ostalih čestica, jer su čestice plina toliko udaljene jedna od druge da interakcije medu njima ne mogu uzrokovati neki definirani prostorni odnos tih čestica. Dakle u plinovitom stanju uopće nema korelacije u rasporedu atoma i to je slučaj potpuno nesredene strukture. U kondenziranoj stanji interakcije medu atomima i molekulama uzrokuju strukturiranje. U tekućinama i amorfnim čvrstim tijelima postoji samo bliski poredak u malim grupama atoma i u odnosu na položaj jedne takve grupe atoma položaj je svih ostalih grupa (koje su udaljene više od desetaka međuatomskih razmaka) potpuno nedefiniran. O položaju daljih atoma u amorfnom tijelu, u odnosu na jedan uočeni atom, mogu se davati samo statističke izjave na osnovu korelačijske funkcije za međusobni položaj atoma. Stakla su tipične amorfne tvari. Potpuno sredeno stanje tvari predstavljaju kristali, jer u njima postoji korelacija medu položajima po volji udaljenosti atoma. Daleki poredak atoma u kristalu narušava se defektima kristalne rešetke. U realnim kristalima srednja udaljenost medu defektima iznosi  $0,1 \dots 1 \mu\text{m}$ , a to je približno hiljadu međuatomskih razmaka. Neke tvari mogu u određenom, karakterističnom za svaku od njih, temperaturnom intervalu biti u stanju tzv. tekućih kristala, koje je međustanje između kristala i tekućine: u tvari koja je po viskoznosti i mehaničkim svojstvima tekućina postoji mala kristalna područja. Na nižim temperaturama tekući kristali prelaze u čvrsto kristalizirano stanje, a na višim temperaturama u običnu tekućinu.

Kristali i amorfna tijela mogu biti sastavljeni od istih struktturnih jedinica i razlikovati se samo po daljini poretka. Npr. kristal kvarca i kremeno staklo imaju istu osnovnu jedinicu, koja se sastoji od atoma silicijuma tetraedarski okruženog atomima kisika. Na sl. 1 je odgovarajuća dvodimenijska ilustracija tog slučaja. Mnoge čvrste tvari, npr. organski polimeri, predstavljaju djelomično sredene strukture u tom smislu što unutar velikih struktturnih jedinica postoji daleki poredak, dok je odnos tih struktturnih jedinica jedne prema drugoj nedefiniran; takva čvrsta tijela možemo smatrati djelomično kristaliziranim.

Talište kristala predstavlja diskontinuitet između sredenog i nesredenog stanja tvari. Upravo zato amorfne tvari nemaju tačno definirane temperature taljenja: kad temperatura stakla raste, ono postepeno omekšava, postaje plastično i zatim tekuće. Taljenje stakla nije promjena u sredenosti stanja, nego progresivno smanjivanje viskoznosti s porastom temperature. I djelomično kristalizirani polimeri nemaju oštrot definirano talište jer